

# Detector technologies

## A brief overview

Many thanks to Erik Butz, [Simon Spannagel](#),  
[Freya Blekman](#), [Peter Schleper](#), Erika Garutti

jory.sonneveld@cern.ch



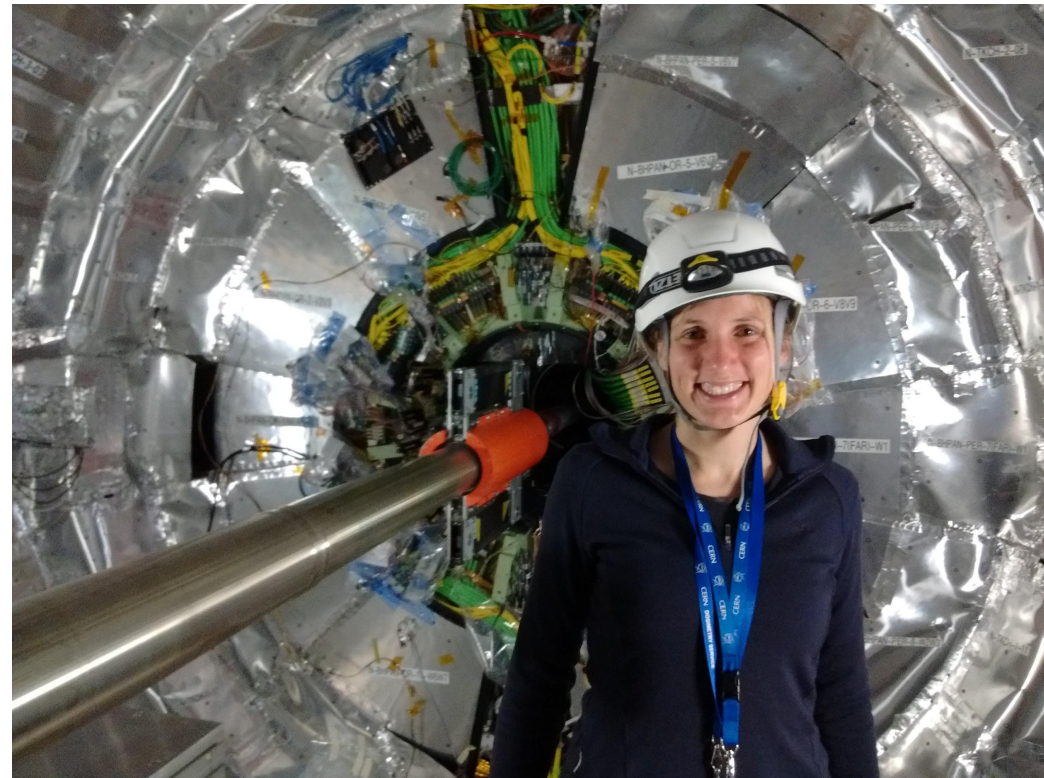
UNIVERSITY  
OF AMSTERDAM

# Ik ben onderzoeker in natuurkunde

Ik werk aan de universiteit van Amsterdam en ontwikkel detectoren in de Nikhef detector R&D groep.

Ik heb ook detectoren bediend en data geanalyseerd: sta ik voor een deeltjesdetector waaraan gewerkt heb op CERN.

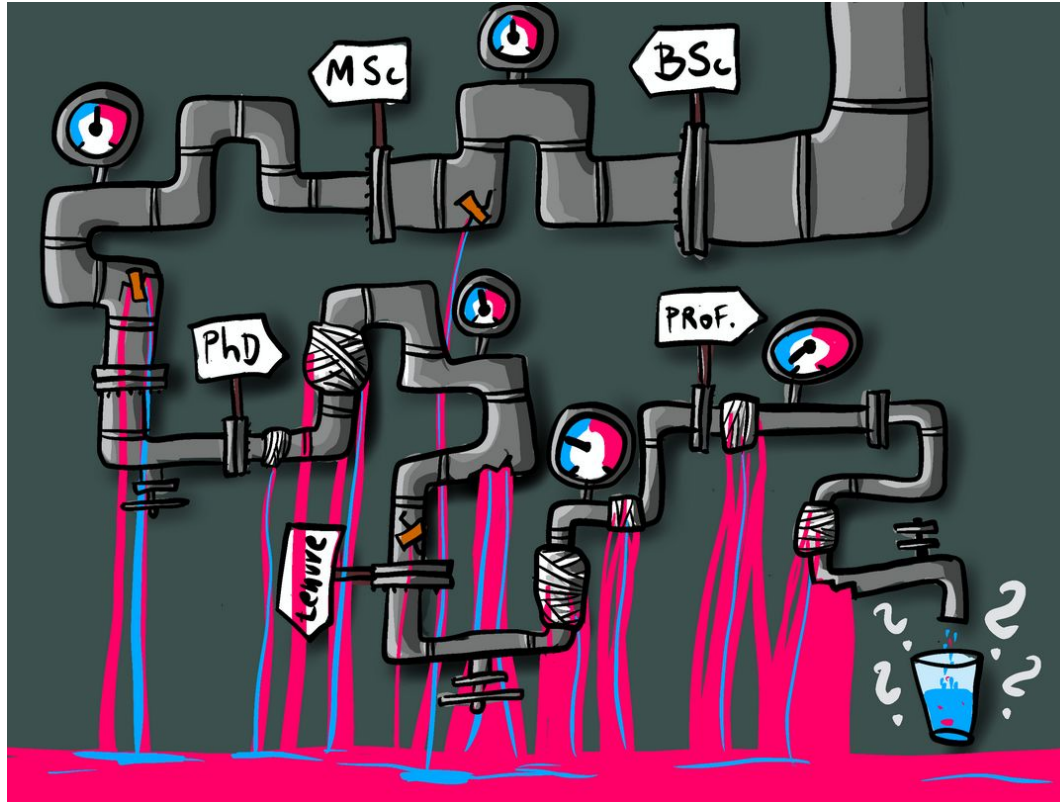
Door de buis gaan hele kleine deeltjes met bijna de lichtsnelheid!



# Diversiteit

---

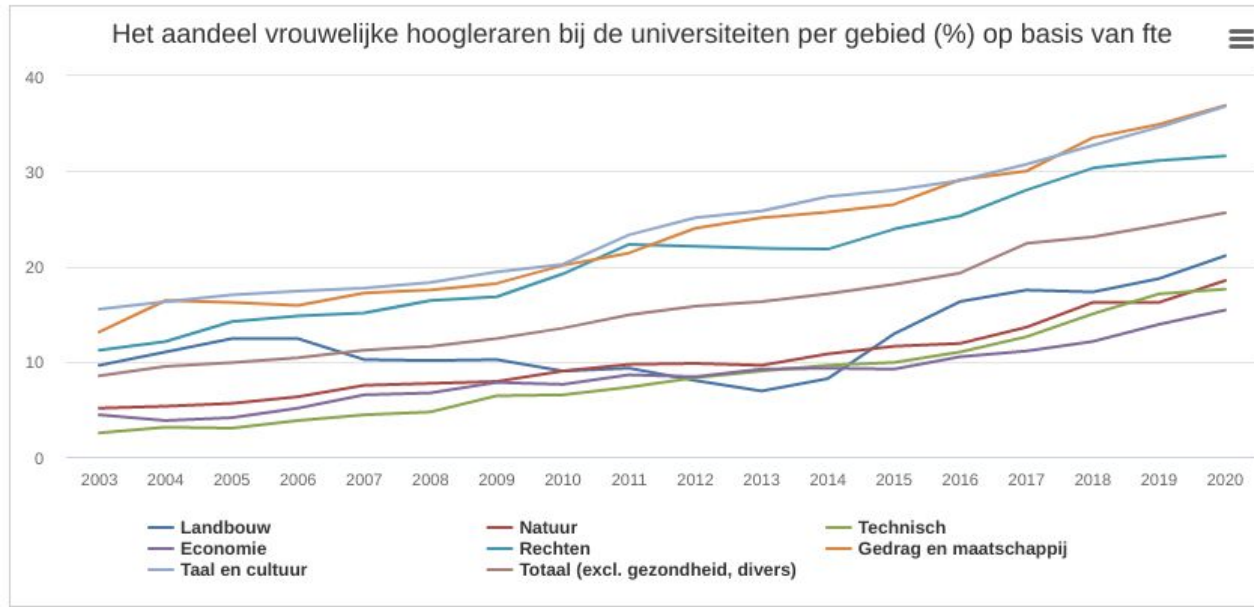
# Onderweg naar de carrière gaat veel talent verloren



Onze  
bachelorinstroom  
is maar 30%  
vrouw

<https://iop.uva.nl/people/d-i-council/posters/leaky-pipeline.html>

# Voorbeelden zijn er weinig



Van het [Rathenau instituut](#)

Gegevens: [Download als CSV bestand](#)

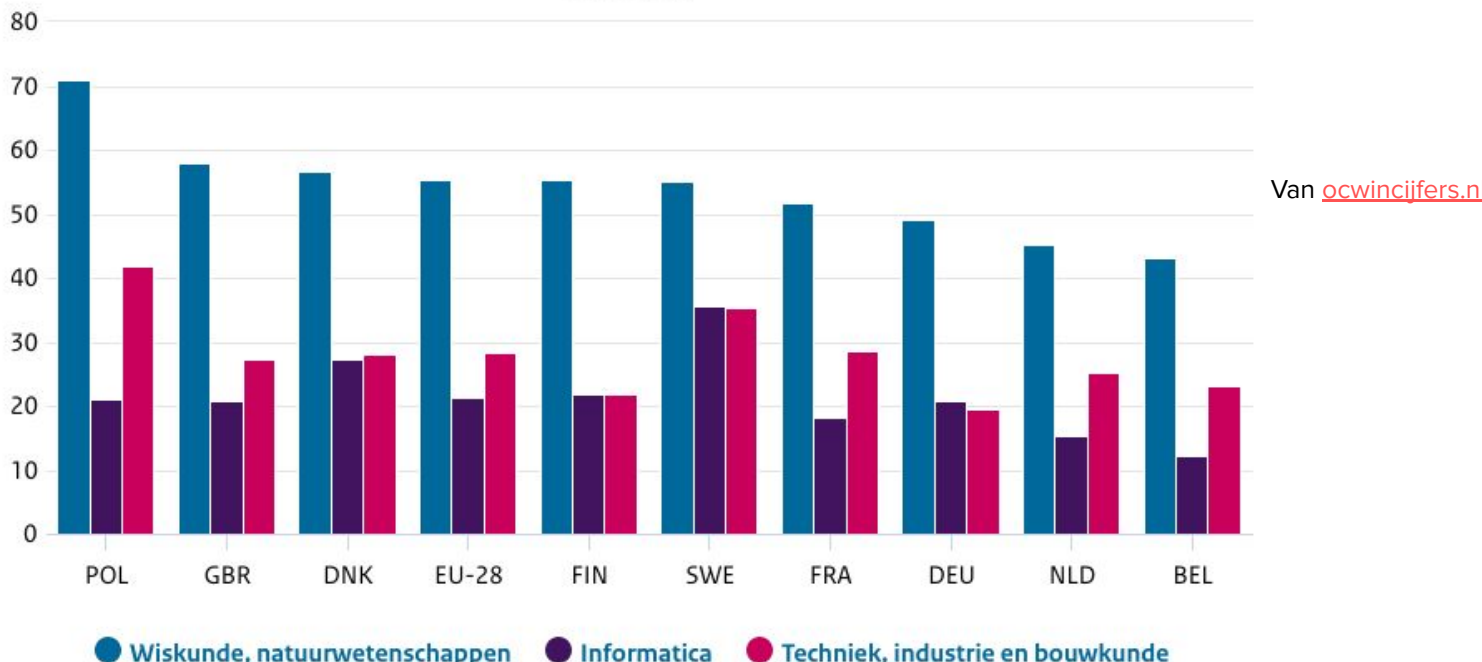
Bron: VSNU/ WOPI

**Notities:** Exclusief Gezondheid en hoogleraren bij de universitair medische centra. Het percentage vrouwelijke hoogleraren aan de universitair medische centra is toegenomen van 17,3% in 2012 tot 25,7% in 2020. (Zie 'Extra toelichting WOPI').

# Weinig vrouwen in techniek in Nederland

Percentage gediplomeerde vrouwen in de bètatechniek per studierichting

2018-2019



# Diversiteit

Image: [kcl.ac.uk](https://kcl.ac.uk)



**Young girls become interested in STEM subjects around the age of 11 and then quickly lose interest when they are 15**

*Study from 2017 commissioned by Microsoft.*

## Causes

Social pressure

Lack of mentors

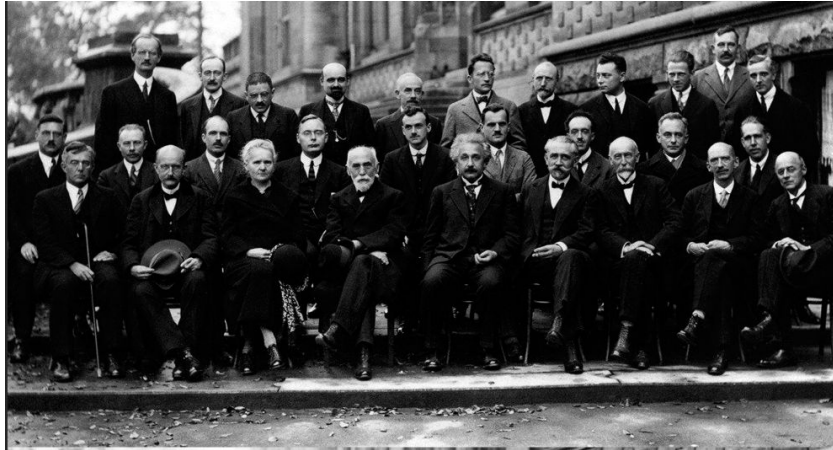
Lack of access to hands-on-learning

**Girls' confidence declines dramatically during puberty, even when they outperform boys in school.**

*A study published in 2018 asked 1,300 pupils:*

- Similar confidence up to age 12
- 30% lower confidence in girls after

# Diversiteit: waar is iedereen?



Niet-Nederlandse komaf kiest:

- economische opleiding
- universitaire rechtenstudie
- Niet 'Cultuur en maatschappij': te "soft"
- Niet 'natuur en techniek': te zwaar (!)

Vaak hebben allochtone studenten ook een grote 'drive' om te willen slagen binnen hun schoolloopbaan, omdat ze het **gevoel hebben dat ze zich meer moeten bewijzen dan autochtone studenten.**

# You can make a difference



Affirm girls' achievements and identities, especially between ages 8 and 14:

**"The praise I received from my favourite teachers when I was in middle school has stayed with me throughout college. [...] Sometimes all it takes is one teacher affirming you—especially when your cultural identities are not being affirmed anywhere else."**

Van Tigidankay Saccoh in de [Economist](#)

## What can you do?

- Emphasize importance of trial-and-error
- Affirm achievements

# Deeltjes: waar komen ze vandaan?

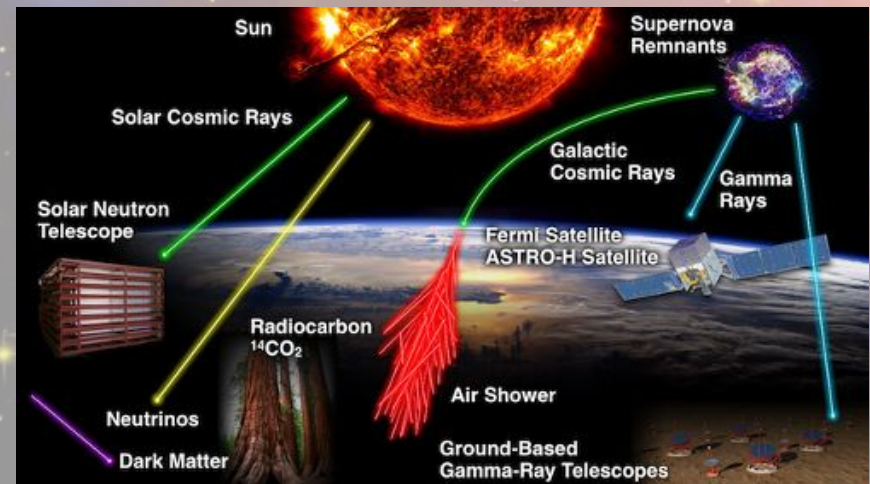
---

# Deeltjes vanuit de ruimte

10000 keer per seconde gaan er deeltjes uit kosmische stralen door jou heen



Wat zijn die deeltjes en hoe gedragen ze zich?  
Waarvan zijn wij en het universum gemaakt?



**HESS:** high energy stereoscopic system,  
in Namibië, kan gamma stralen detecteren

[http://www2.cnrs.fr/sites/en/image/hess\\_new\\_large\\_hd.jpg](http://www2.cnrs.fr/sites/en/image/hess_new_large_hd.jpg)

[http://www.isee.nagoya-u.ac.jp/en/assets\\_c/2016/03/study01\\_1-thumb-500xauto-153.png](http://www.isee.nagoya-u.ac.jp/en/assets_c/2016/03/study01_1-thumb-500xauto-153.png)

Hoe kunnen we zo'n deeltje  
detecteren?

---

# $\gamma$ stralen:

## fotonen



$\gamma$ -ray enters the atmosphere

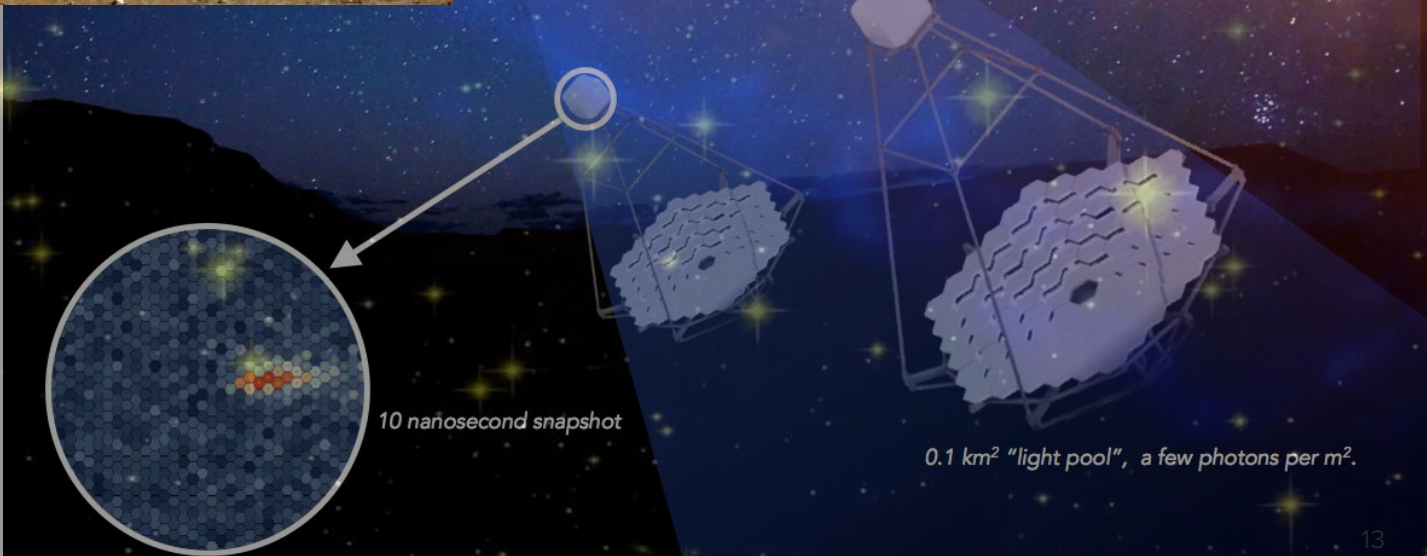
Electromagnetic cascade

Primary  $\gamma$

$e^+$

$e^-$

$\gamma$



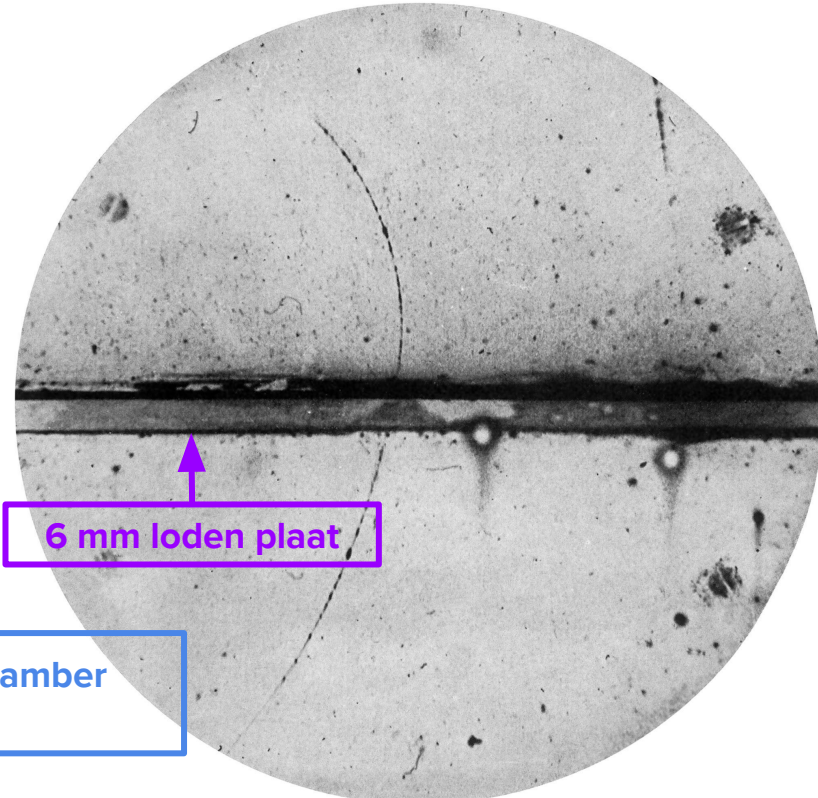
# Ontdekking van antimaterie

<https://upload.wikimedia.org/wikipedia/commons/6/69/PositronDiscovery.jpg>  
C.D. Anderson <https://journals.aps.org/pr/pdf/10.1103/PhysRev.43.491>

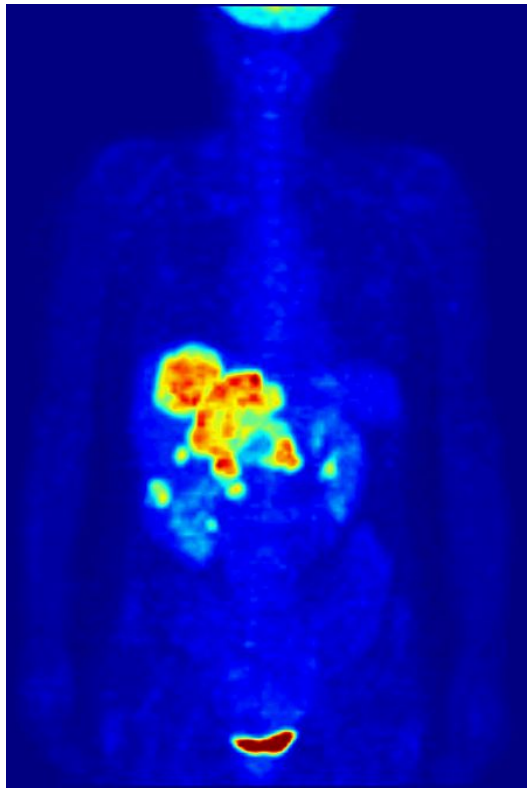
Het eerste positron ooit geobserveerd!

**Nevelkamer:** gasmengsel van superverzadigd water of alcohol. Een energetisch deeltje ioniseert het gas en ionen vormen condensatiecentra die zichtbaar worden als wolk.

15000 Gauss = 1.5T magnetisch veld Wilson cloud chamber  
(nevelkamer) voor detectie van kosmische straling



# Meer deeltjesdetectoren



**Positron emission tomography**



[https://upload.wikimedia.org/wikipedia/commons/6/69/Smoke\\_detector.JPG](https://upload.wikimedia.org/wikipedia/commons/6/69/Smoke_detector.JPG)



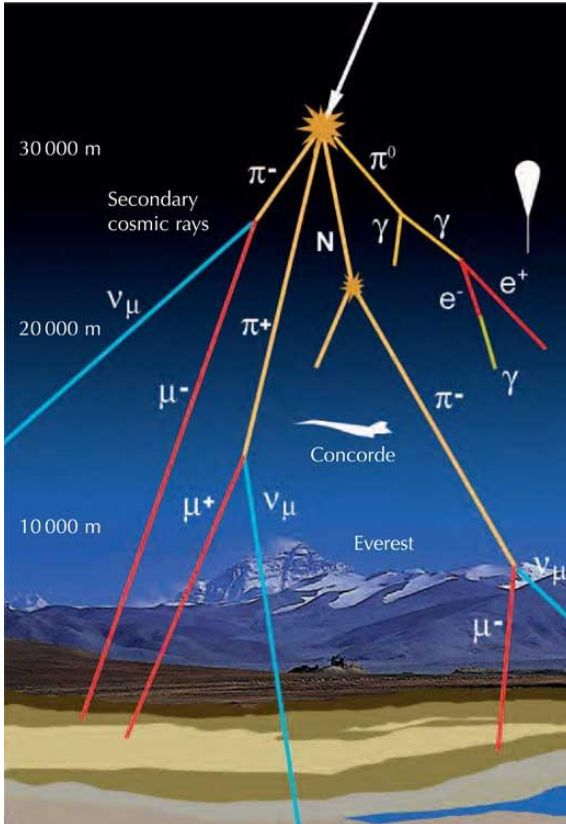
[https://dosimetry.web.cern.ch/sites/dosimetry.web.cern.ch/files/image/201404-071\\_01\\_cut4x2\\_0.jpeg](https://dosimetry.web.cern.ch/sites/dosimetry.web.cern.ch/files/image/201404-071_01_cut4x2_0.jpeg)

# Wat voor deeltjes?

---

# Vele verschillende deeltjes!

Waar is het proton?

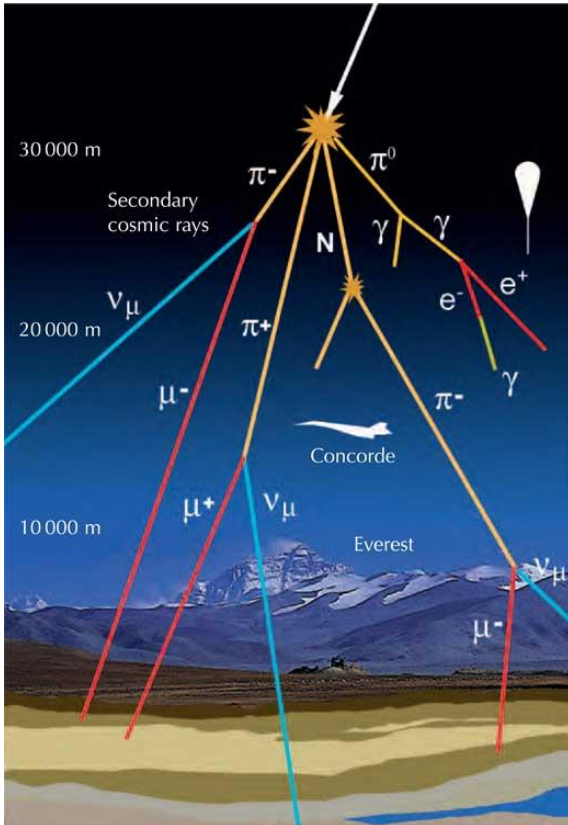


## Standard Model of Elementary Particles

| three generations of matter<br>(fermions)        |   |   | interactions / force carriers<br>(bosons)         |  |                               |
|--|---|---|---|--|-------------------------------|
| mass<br>charge<br>spin                           | I<br>u<br>up                                      | II<br>c<br>charm                                  | III<br>t<br>top                                   | 0<br>0<br>1<br>g<br>gluon                |                               |
| $\approx 2.2 \text{ MeV}/c^2$<br>$2/3$<br>$1/2$  | $\approx 1.28 \text{ GeV}/c^2$<br>$2/3$<br>$1/2$  | $\approx 173.1 \text{ GeV}/c^2$<br>$2/3$<br>$1/2$ | $\approx 124.97 \text{ GeV}/c^2$<br>$0$<br>$0$    | $H$<br>higgs                             |                               |
| QUARKS   | d<br>down   | s<br>strange                                      | b<br>bottom                                       | $\gamma$<br>photon                       |                               |
| $\approx 4.7 \text{ MeV}/c^2$<br>$-1/3$<br>$1/2$ | $\approx 96 \text{ MeV}/c^2$<br>$-1/3$<br>$1/2$   | $\approx 4.18 \text{ GeV}/c^2$<br>$-1/3$<br>$1/2$ | $\approx 105.66 \text{ MeV}/c^2$<br>$-1$<br>$1/2$ | $\tau$<br>tau                            |                               |
| $\approx 0.511 \text{ MeV}/c^2$<br>$-1$<br>$1/2$ | $\approx 1.7768 \text{ GeV}/c^2$<br>$-1$<br>$1/2$ | $\approx 91.19 \text{ GeV}/c^2$<br>$0$<br>$1$     | $\mu$<br>muon                                     | $Z$<br>Z boson                           |                               |
| LEPTONS  | e<br>electron                                     | $\nu_e$<br>electron neutrino                      | $\nu_\mu$<br>muon neutrino                        | $\nu_\tau$<br>tau neutrino               | $W$<br>W boson                |
|  | $<1.0 \text{ eV}/c^2$<br>0<br>$1/2$               | $<0.17 \text{ MeV}/c^2$<br>0<br>$1/2$             | $<18.2 \text{ MeV}/c^2$<br>0<br>$1/2$             | $<80.39 \text{ GeV}/c^2$<br>$\pm 1$<br>1 | GAUGE BOSONS<br>VECTOR BOSONS |

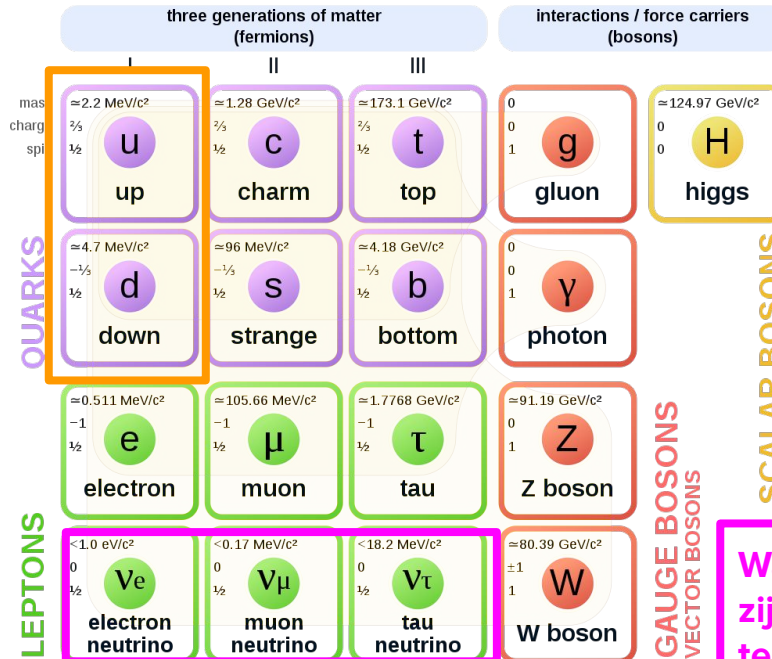
Ieder deeltje gedraagt zich anders, afhankelijk van massa, lading. Op aarde zien we veel **muonen**.

# Vele verschillende deeltjes!



**Proton =  $u+u+d$**   
**3 quarks! Samengehouden door gluonen.**

## Standard Model of Elementary Particles



Waarom zijn  
zij zo moeilijk  
te zien?

Ieder deeltje gedraagt zich anders, afhankelijk van massa, lading. Op aarde zien we veel **muonen**.

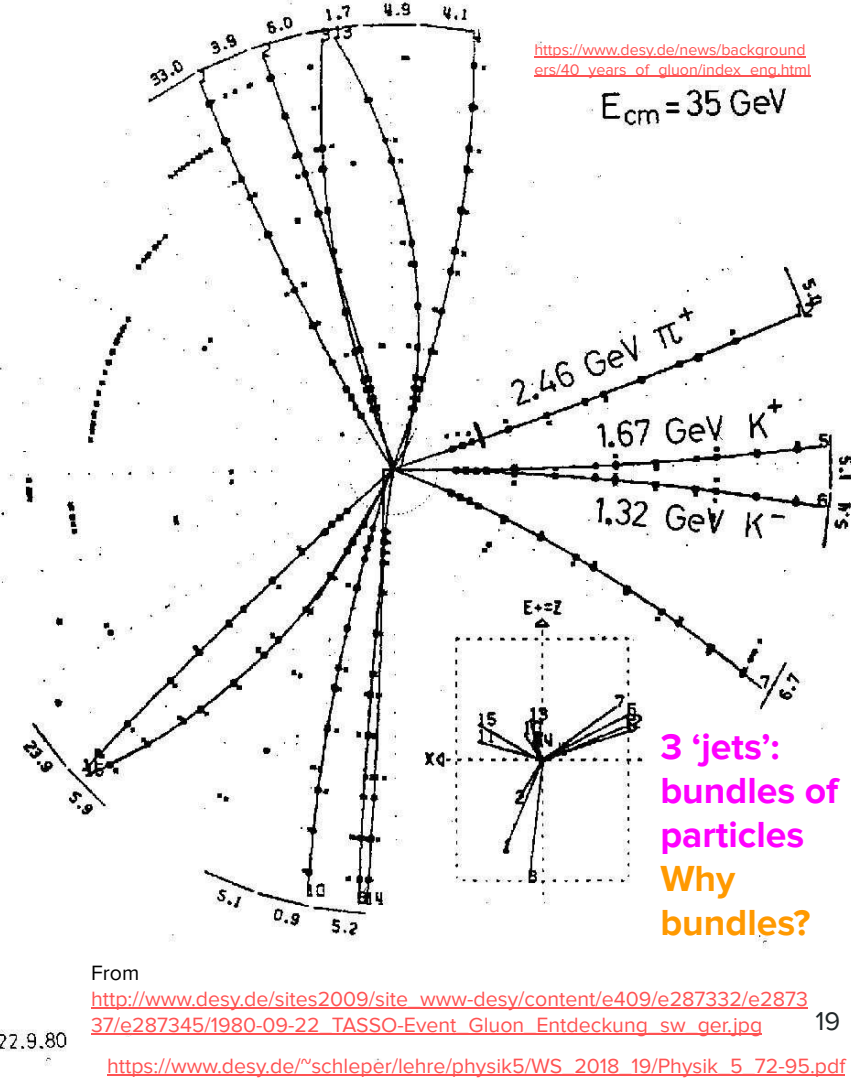
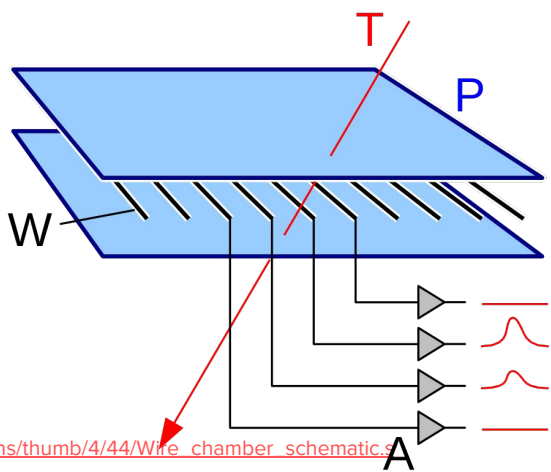
# Gluon discovery

Event in *drift chamber* of JADE experiment at PETRA collider at DESY.

Such events were used to prove the existence of gluons:  $e^+e^- \rightarrow q\bar{q}g$ .

**Wire chamber:** particle T passes through grounded plate P and ionizes gas in chamber. Charge drifts in electric field to high voltage wires W and is collected at an amplifier A.

[https://upload.wikimedia.org/wikipedia/commons/thumb/4/44/Wire\\_chamber\\_schematic.svg/1024px-Wire\\_chamber\\_schematic.svg.png](https://upload.wikimedia.org/wikipedia/commons/thumb/4/44/Wire_chamber_schematic.svg/1024px-Wire_chamber_schematic.svg.png)



Hoe detecteer je zo'n deeltje op  
CERN?

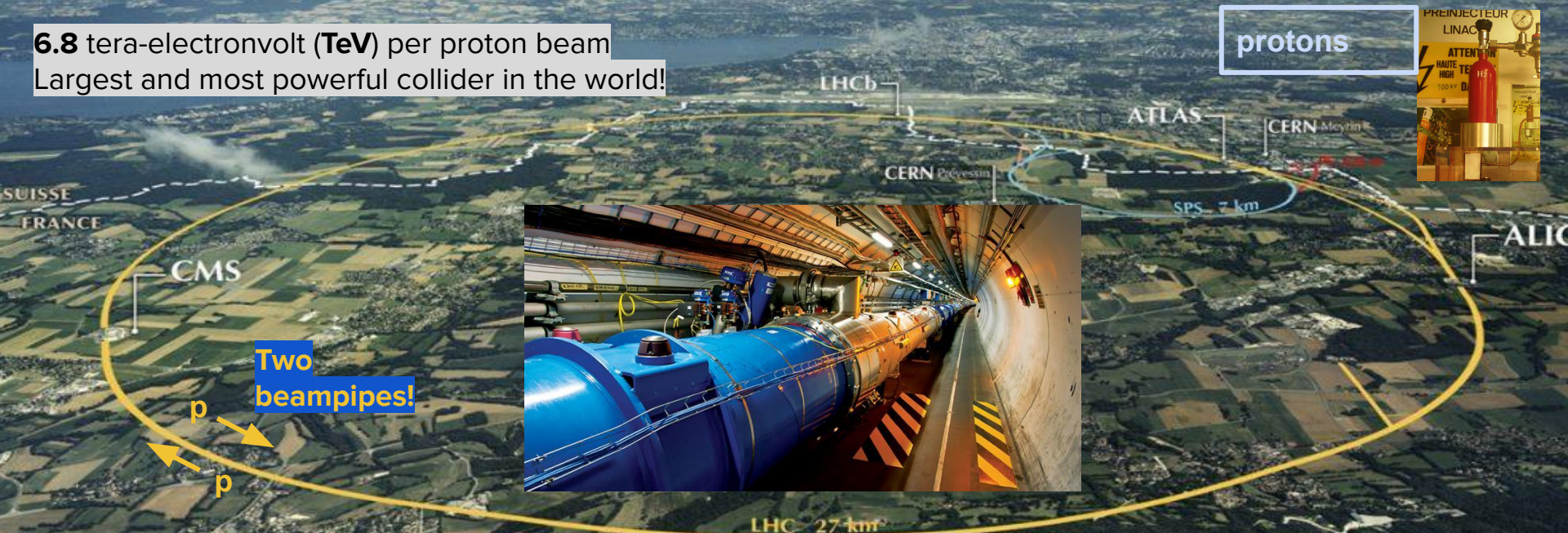
---

# Large Hadron Collider

**Hadron: composite particle made of quarks held together by the strong force**

**6.8** ter-electronvolt (**TeV**) per proton beam

Largest and most powerful collider in the world!



[https://cdn.zmescience.com/wp-content/uploads/2015/05/cern\\_lhc-aerial.jpg](https://cdn.zmescience.com/wp-content/uploads/2015/05/cern_lhc-aerial.jpg)

<https://sites.uci.edu/energyobserver/files/2012/11/lhc-aerial.jpg>

[https://upload.wikimedia.org/wikipedia/commons/6/62/CERN\\_LHC\\_Proton\\_Source.JPG](https://upload.wikimedia.org/wikipedia/commons/6/62/CERN_LHC_Proton_Source.JPG)

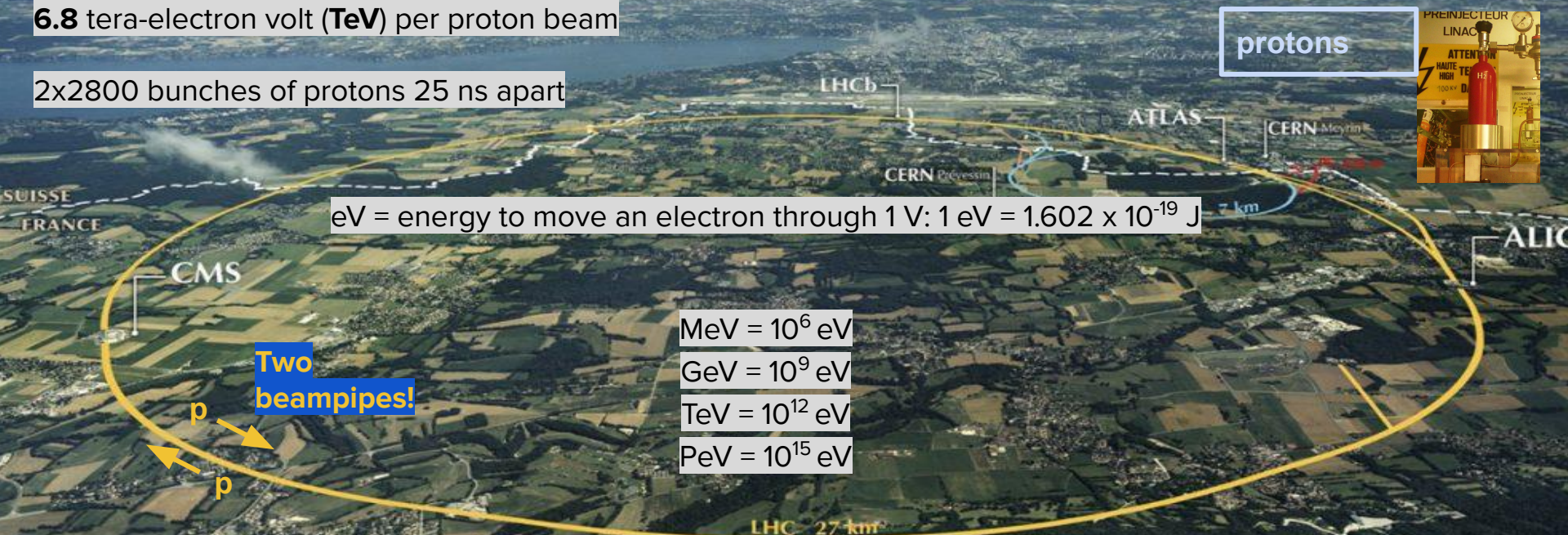
<https://www.youtube.com/watch?v=NhXMXiXOWAA>

[https://home.cern/sites/home.web.cern.ch/files/image/inline-images/old/lhc\\_long\\_1.jpg](https://home.cern/sites/home.web.cern.ch/files/image/inline-images/old/lhc_long_1.jpg)

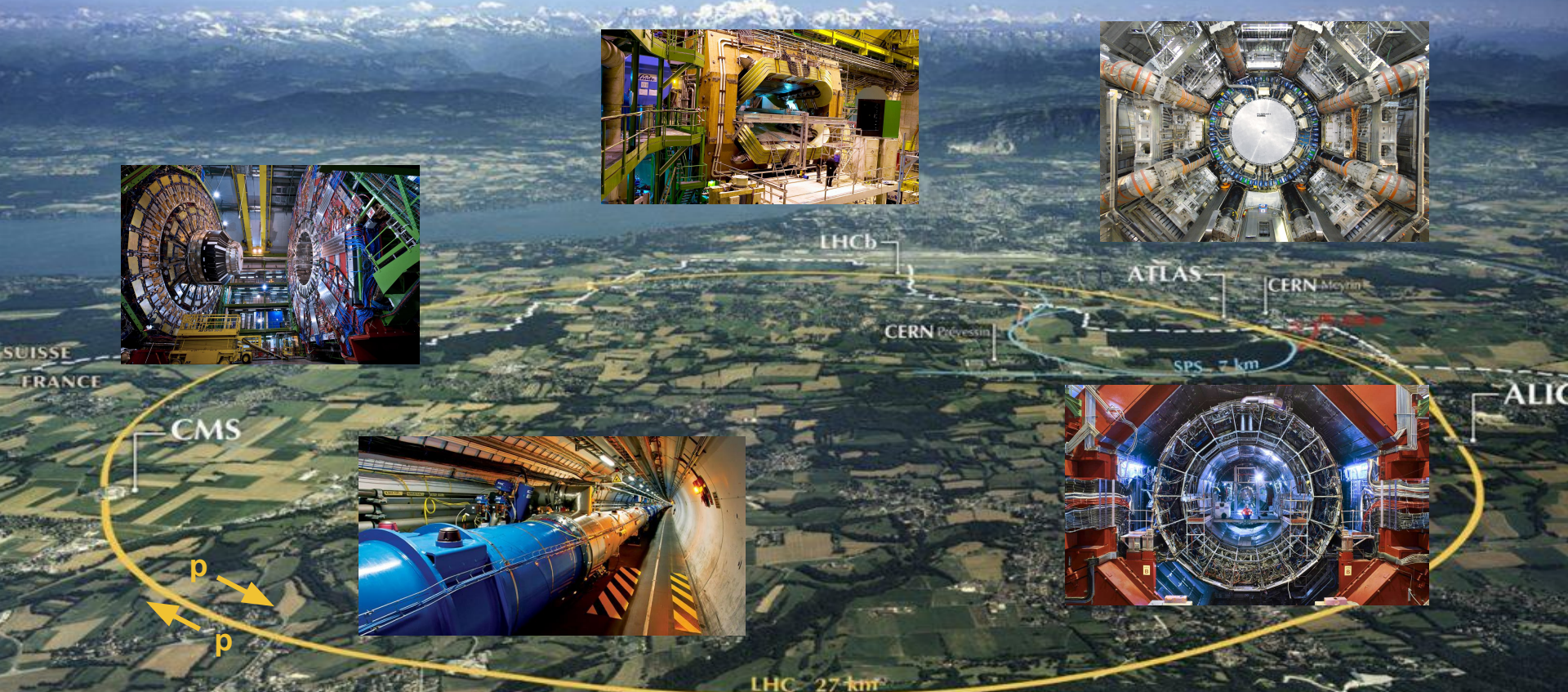
# Large Hadron Collider

6.8 tera-electron volt (**TeV**) per proton beam

2x2800 bunches of protons 25 ns apart



# Large Hadron Collider



<https://cdn.zmescience.com/wp-content/uploads/2015/05/cern-lhc-aerial.jpg>

<https://sites.uci.edu/energysobserver/files/2012/01/lhc-aerial.jpg>

[https://upload.wikimedia.org/wikipedia/commons/6/62/CERN\\_LHC\\_Proton\\_Source.JPG](https://upload.wikimedia.org/wikipedia/commons/6/62/CERN_LHC_Proton_Source.JPG)

[https://home.cern/sites/home.web.cern.ch/files/image/inline-images/old/lhc\\_long\\_1.jpg](https://home.cern/sites/home.web.cern.ch/files/image/inline-images/old/lhc_long_1.jpg)

<https://www.youtube.com/watch?v=NbXMYiYOWAA>

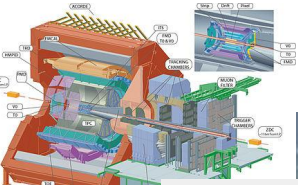
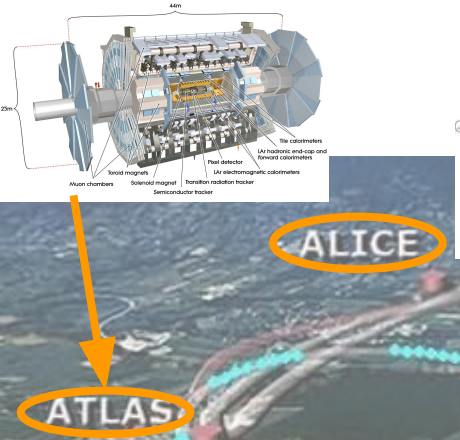
# LHC magneten: Kouder dan het universum!

LHC

Naar 1.8 K zodat de  
magneten (in het  
blauwe omhulsel)  
supergeleidend  
worden

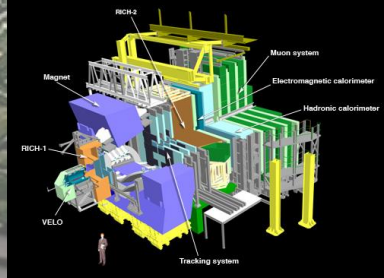
Het universum is  
warmer: 2.73 kelvin!

# Detectors at the LHC



**A Large Ion Collider Experiment:** specialized in **heavy ion** collisions and quark-gluon plasma: fraction of second after big bang!

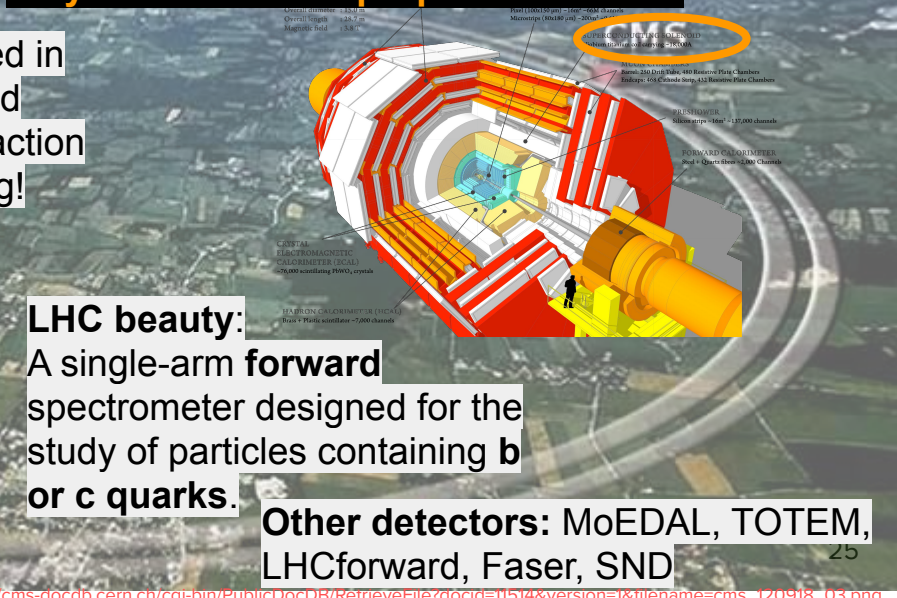
**A Toroidal LHC Apparatus:**  
25 m x 25 m x 46m  
The inner detector has 3 air core **toroidal magnets** and one solenoidal magnet.  
**Multipurpose detector.**



## Compact Muon Solenoid

14000 tons: 1.5\* Eiffel tower weight, half the size of ATLAS: 15 m x 15 m x 21 m very compact!

Largest superconducting solenoid magnet ever made  
**Why a second multipurpose detector?**

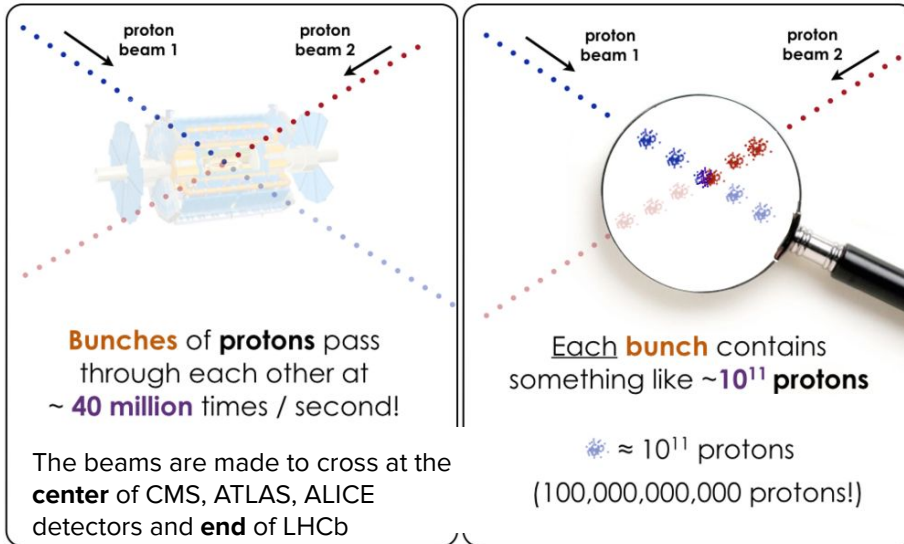


## LHC beauty:

A single-arm **forward** spectrometer designed for the study of particles containing **b** or **c** quarks.

**Other detectors:** MoEDAL, TOTEM, LHCforward, Faser, SND

# Proton-proton collisions



## Trigger system:

Choose what events are interesting

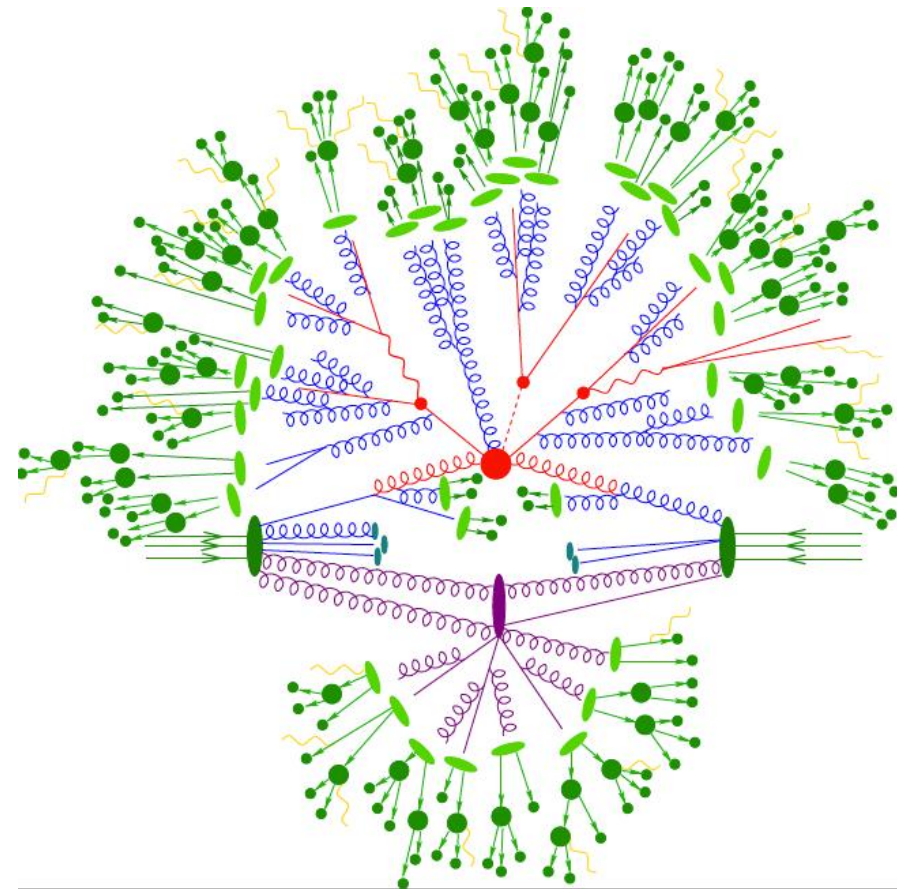
### How do we choose?

**Jet:** quarks and gluons hadronized to kaons, protons, pions in a collimated stream

<https://inspirehep.net/record/805147/files/crosssections2008.png>

<https://static1.squarespace.com/static/568f0767d82d5ee322f9bbcc/t/57bac2e99f7456e36f33b505/1471857390507/>

<https://image.slidesharecdn.com/rojo-slac-nnpdfs-150406131730-conversion-gate01/95/the-structure-of-the-proton-in-the-higgs-boson-era-8-638.jpg?cb=1428344507>



<https://sciencedude.org/feature/sherpa-and-open-science-grid-predicting-emergence-jets.php>

# Wat detecteren we?

---

# Niet alle bekende elementaire deeltjes!

Directly detect:

Vervalsproducten

jets

Indirectly detect:

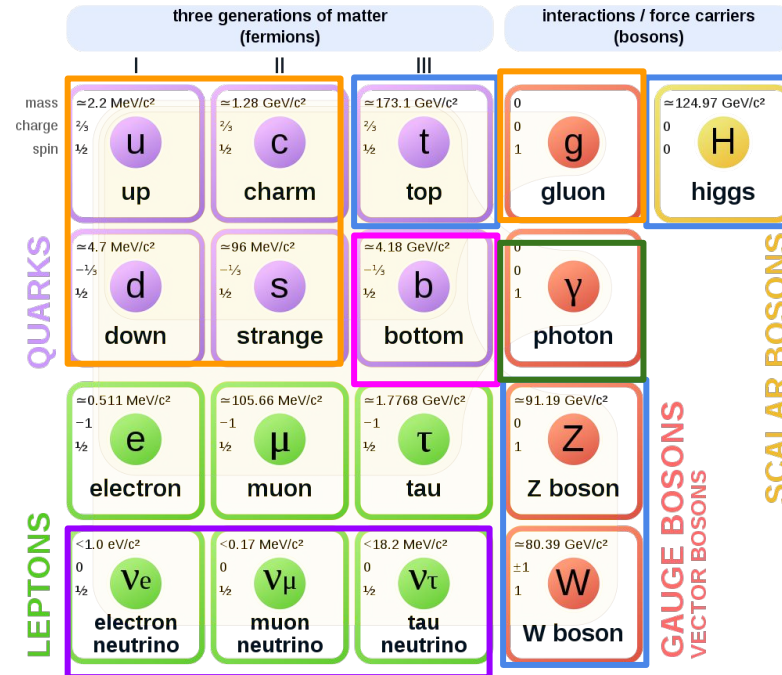
Missing energy

Secondary vertex + jets

Neutral particles

Should be able to detect and identify:  
 $e^\pm, \mu^\pm, \gamma, \pi^\pm, K^\pm, p^\pm, K^0, n$   
using mass, charge, interaction

Standard Model of Elementary Particles

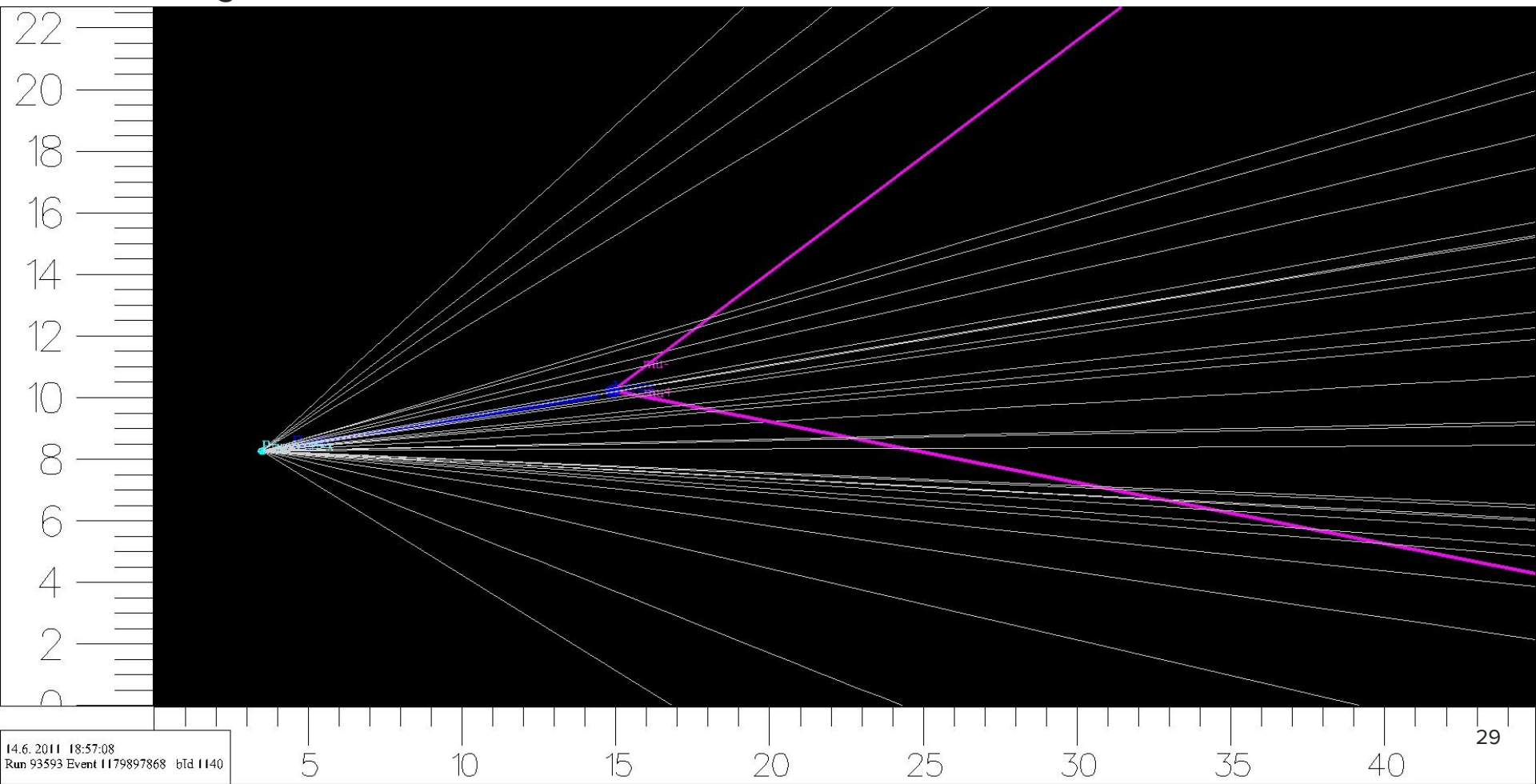


From

[https://upload.wikimedia.org/wikipedia/commons/0/00/Standard\\_Model\\_of\\_Elementary\\_Particles.svg](https://upload.wikimedia.org/wikipedia/commons/0/00/Standard_Model_of_Elementary_Particles.svg)

# LHCb $B_s \rightarrow \mu^+ \mu^-$

<http://lhcb-public.web.cern.ch/lhcb-public/>



# What do we measure and how?

| Observable          | Measurable quantity                 |
|---------------------|-------------------------------------|
| Momentum ( $p$ )    | Bending radius in magnetic field    |
| Speed ( $v$ )       | Time of flight, Cherenkov radiation |
| Charge ( $Q$ )      | Bending in magnetic field           |
| Lifetime ( $\tau$ ) | Distance traveled before decay      |
| Energy ( $E$ )      | Absorption in calorimeters          |
| Mass ( $m$ )        | Indirectly from momentum            |
| Spin                | <u>Angular distributions</u>        |

- $d = c\tau\gamma$
- $\gamma = 1/\sqrt{1-\beta^2}$
- $\beta = v/c$
- $E^2 = m^2c^4 + p^2c^2$
- $p = \gamma mv = mv/\sqrt{1-v^2/c^2}$

For some examples of measuring spin see

<https://arxiv.org/pdf/1202.6660.pdf> and  
<http://moriond.in2p3.fr/QCD/2013/proceedings/Muehlleitner.pdf>

**Need 1) a magnetic field and 2) interaction with material**

# Hoe detecteren we?

---

## Compact Muon Solenoid



100 meter onder de grond is een holte voor experimentatie, van de grootte van een kathedraal, die 1 van de twee experimenten herbergt die het Higgs boson heeft gevonden: CMS, een detector van 14000 ton !





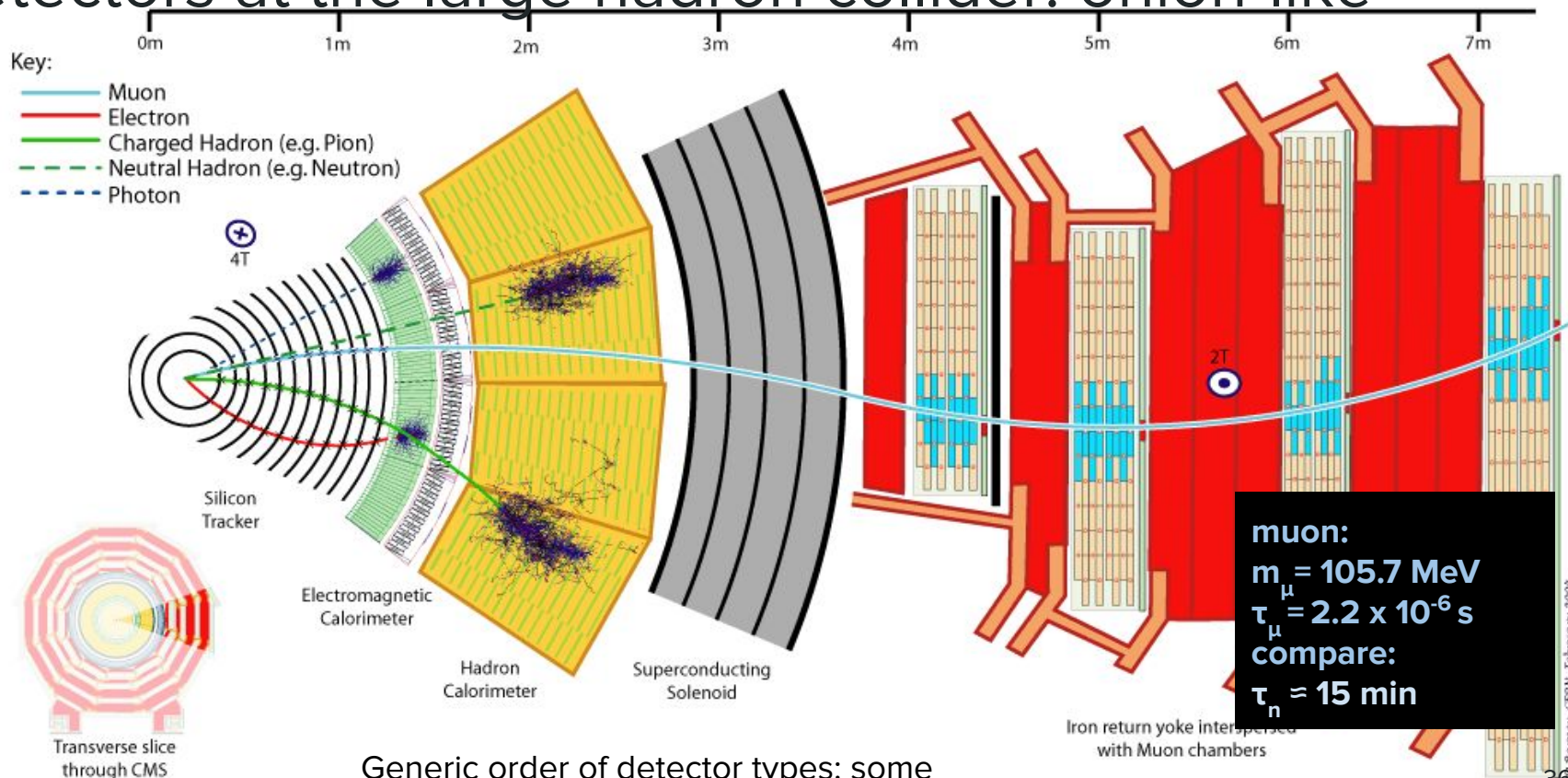


**De CMS pixel detector  
kan voor onderhoud  
boven op het  
aardoppervlak worden  
gebracht.**



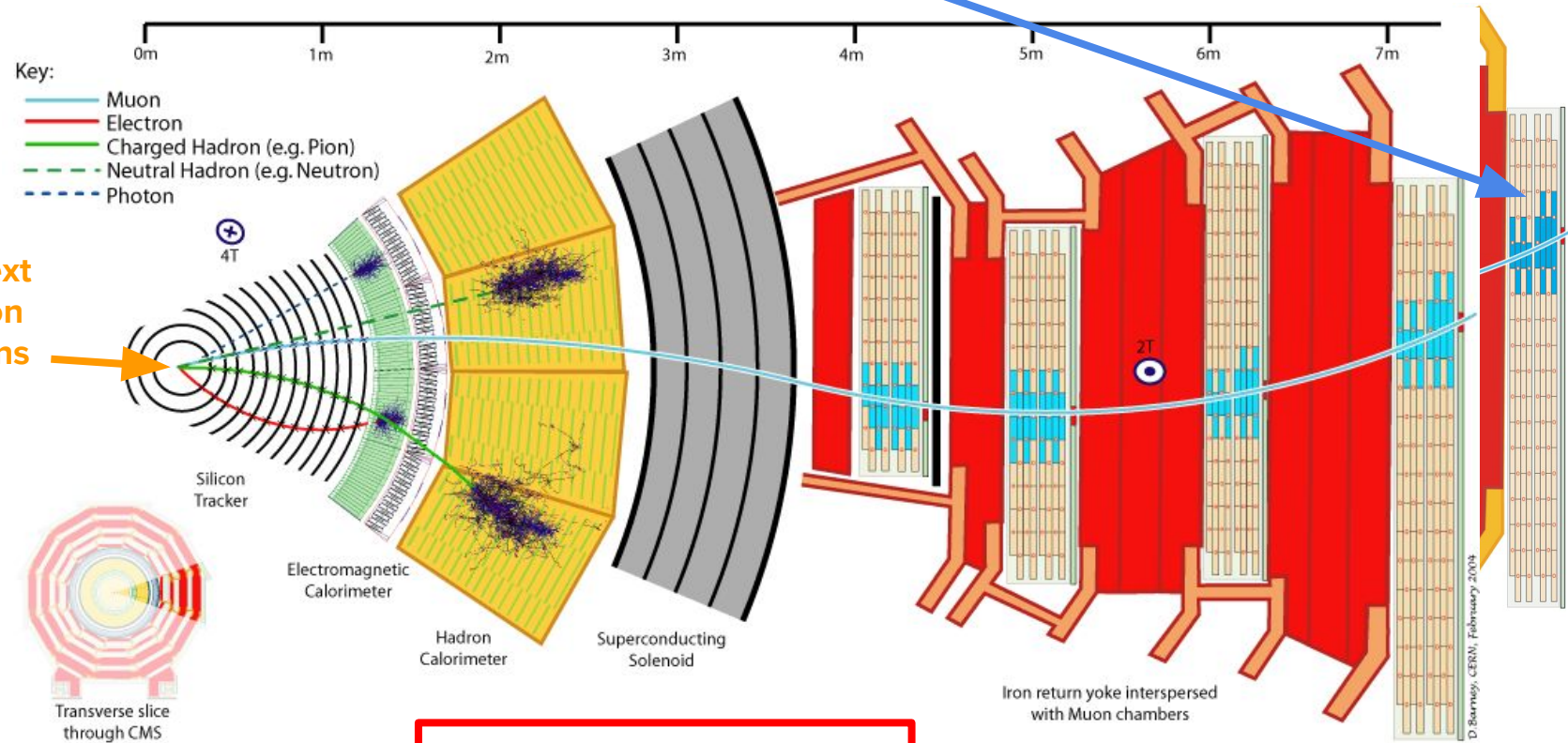
**Je kunt dan dwars door  
CMS heen kijken!**

# Detectors at the large hadron collider: onion-like



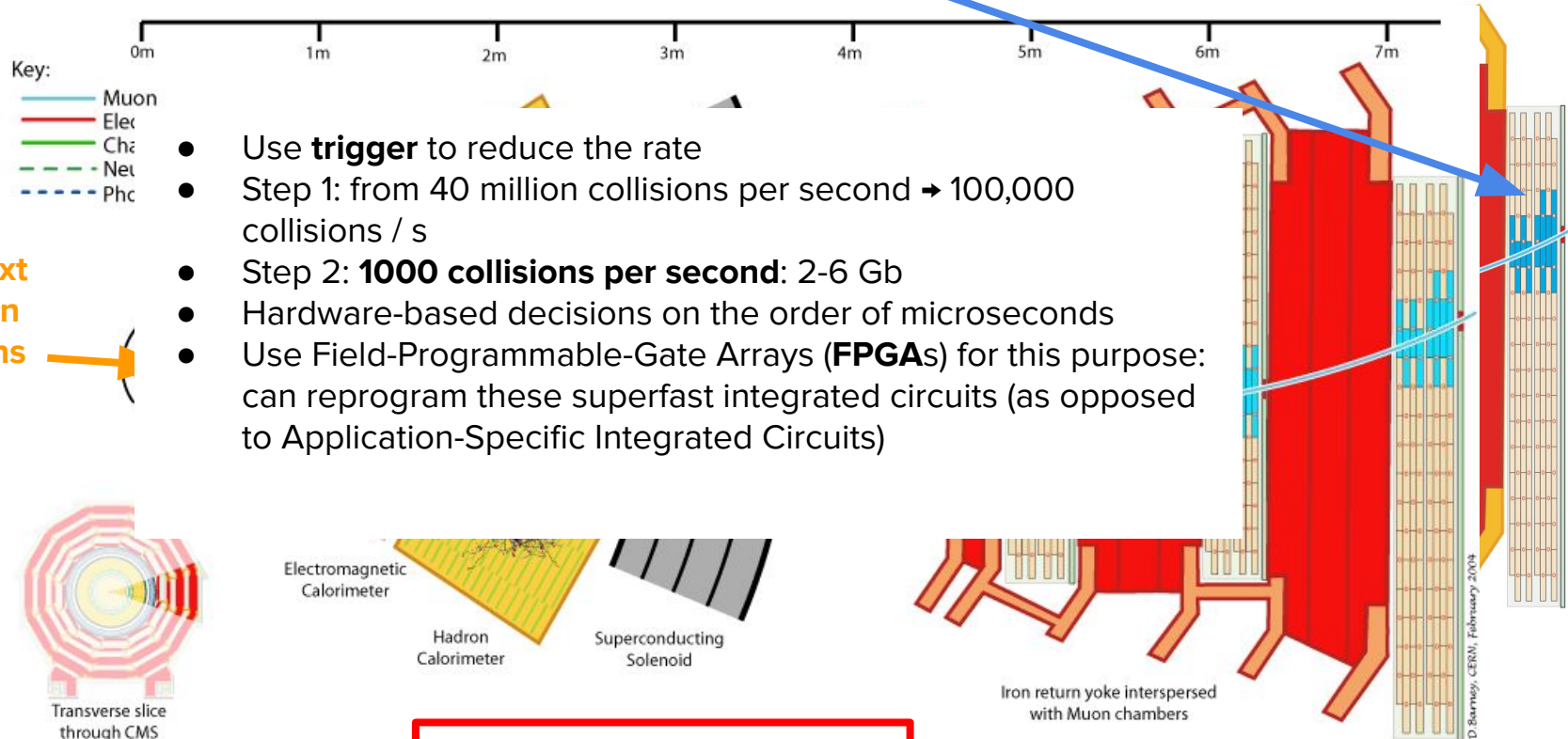
Generic order of detector types: some measurements destructive!

# Note when the muon arrives here

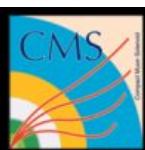


$$25 \text{ ns} \cdot c \approx 7.5 \text{ m}$$

# Note when the muon arrives here



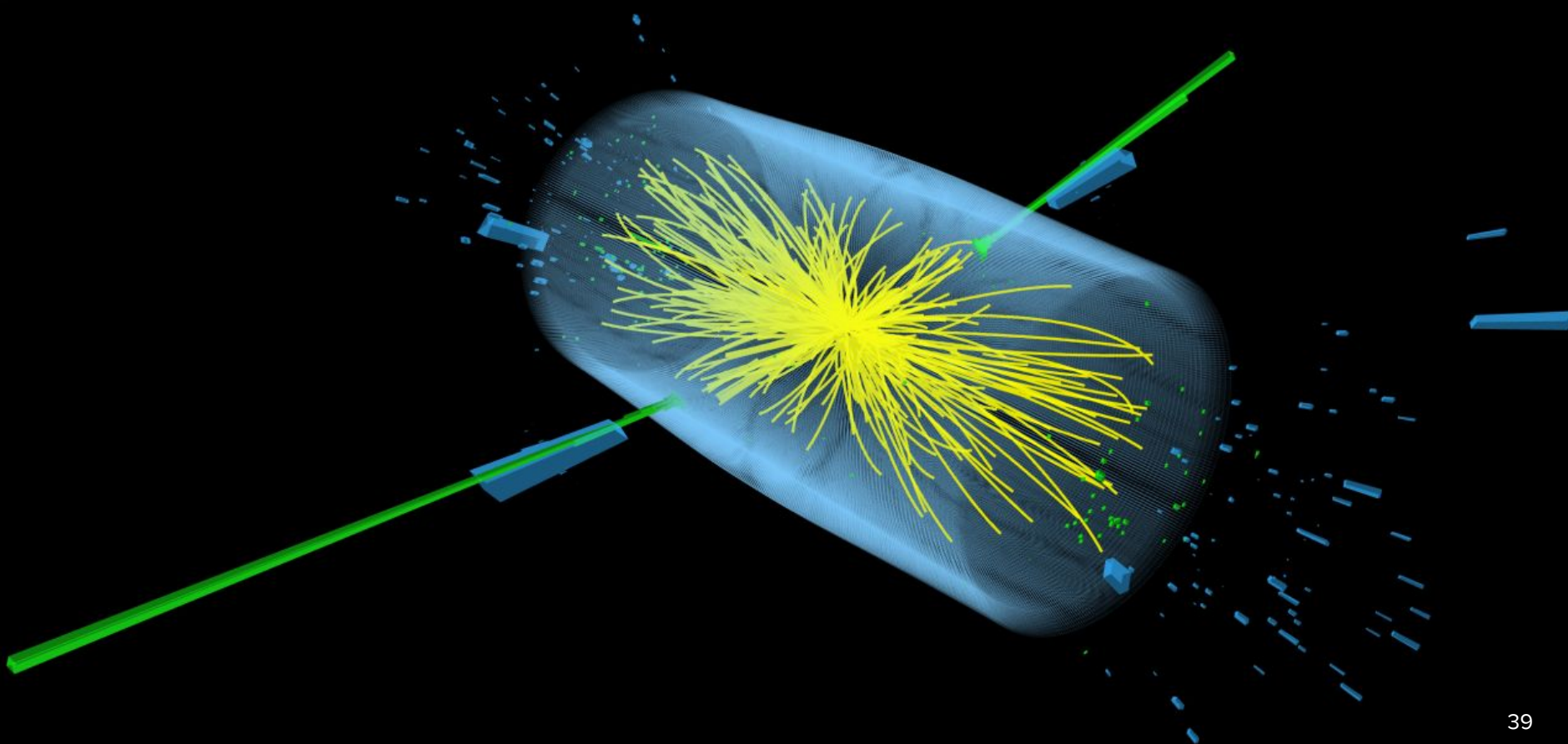
$$25 \text{ ns} \cdot c \approx 7.5 \text{ m}$$



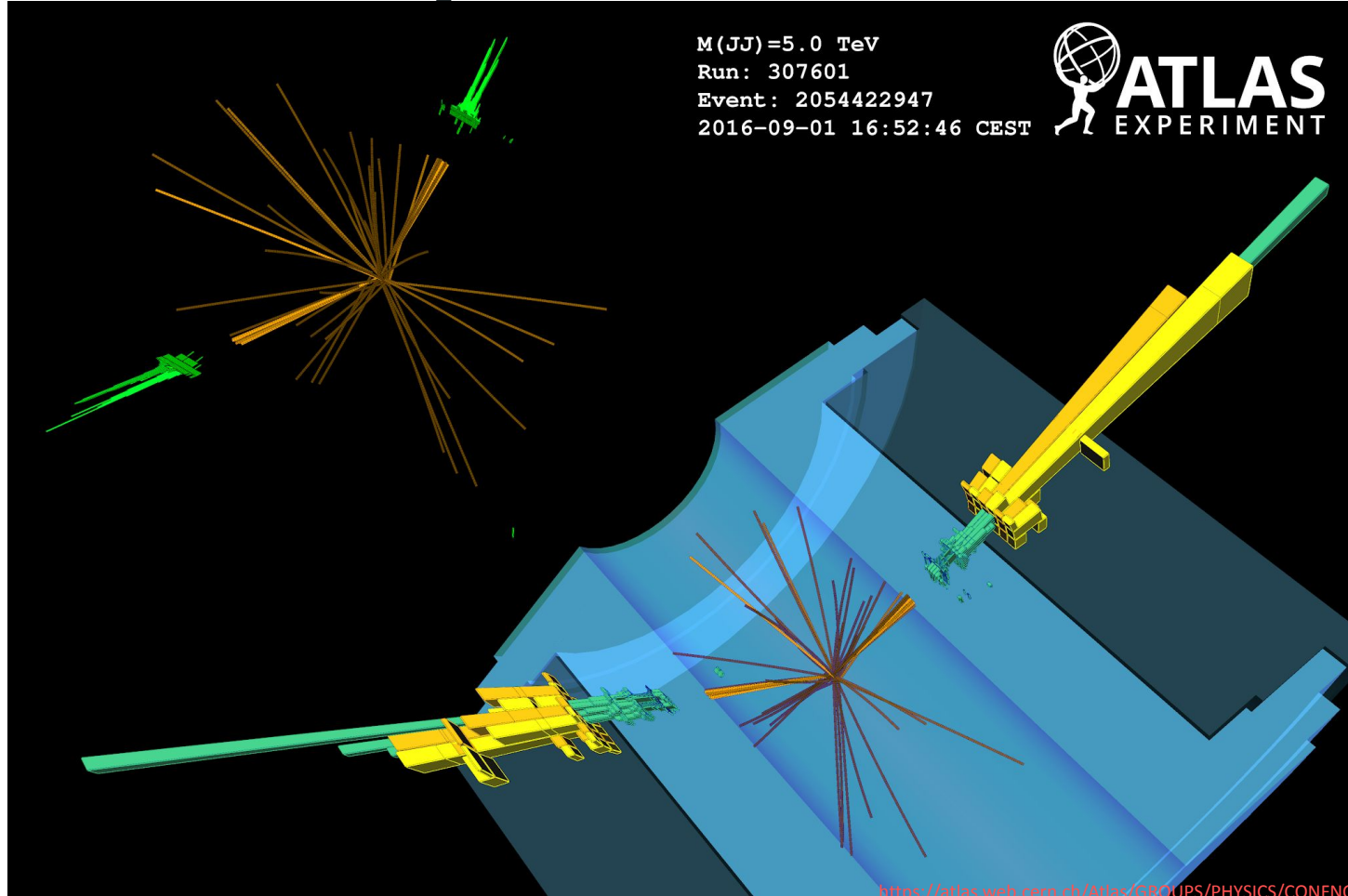
CMS Experiment at the LHC, CERN

Data recorded: 2016-May-11 21:40:47.974592 GMT

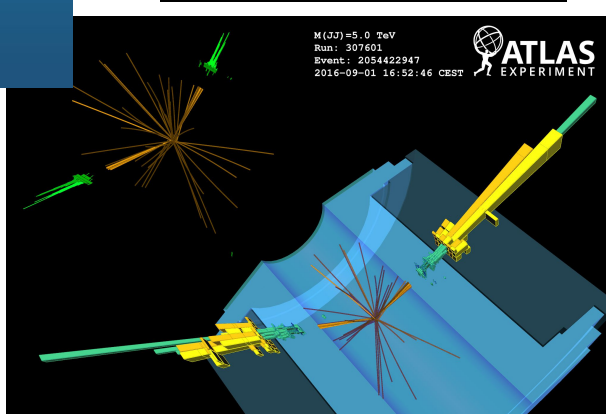
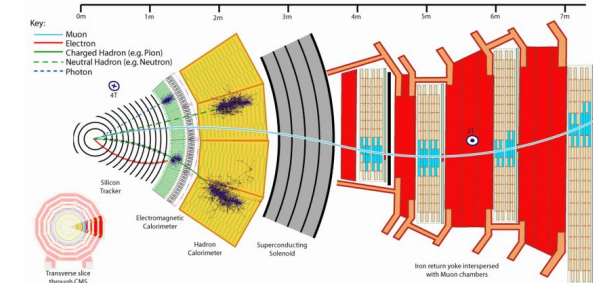
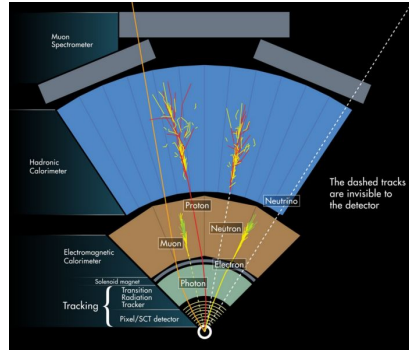
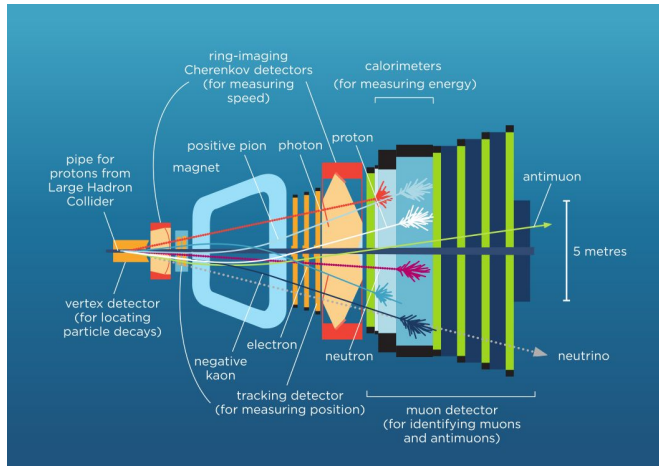
Run / Event / LS: 273158 / 238962455 / 150



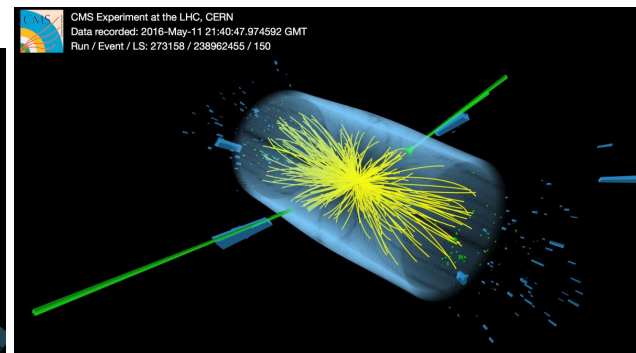
# Diboson event: jets in the ATLAS detector



# Detecting particles at the LHC



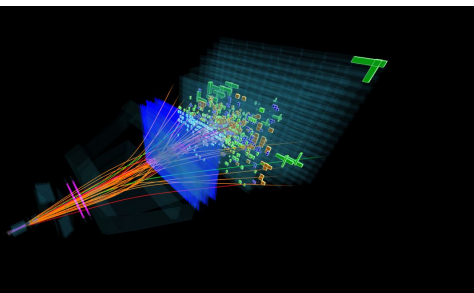
ATLAS dijet event



CMS dijet event



Event 18853354  
Run 208541  
Sat 28 Apr 2018 21:48:17



LHCb b-jet event

# Zware ionen

---

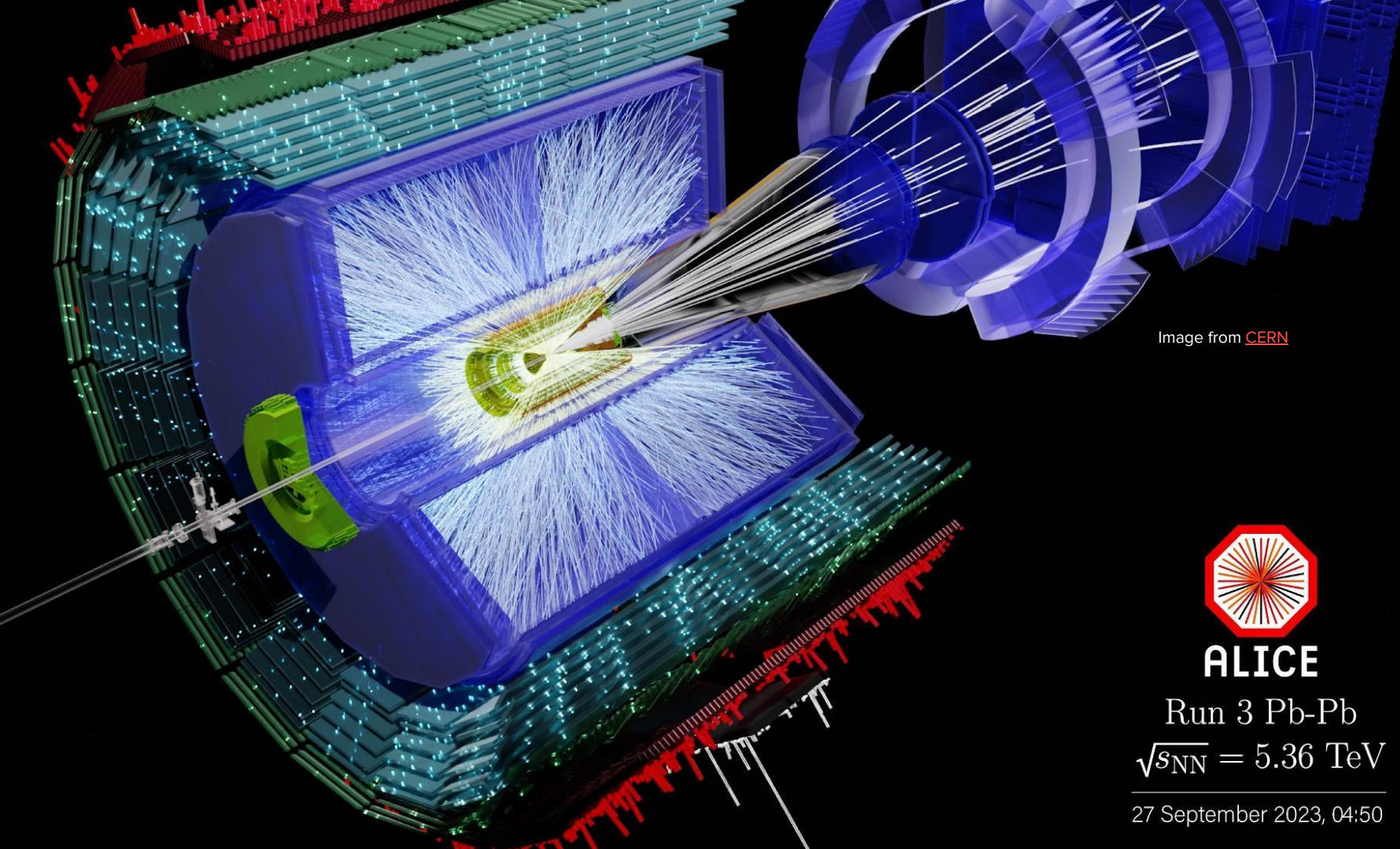


Image from [CERN](#)

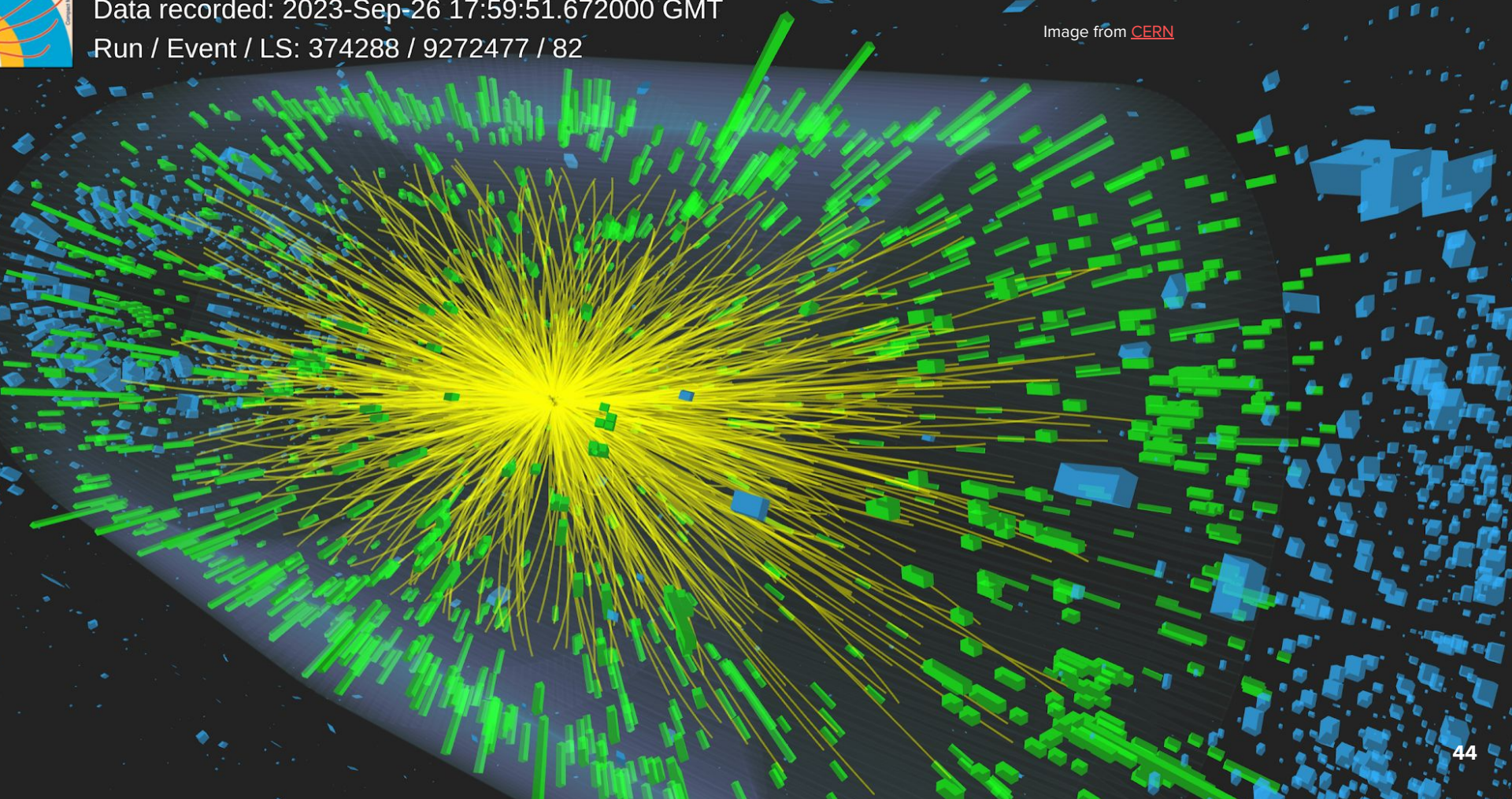


**ALICE**

Run 3 Pb-Pb  
 $\sqrt{s_{\text{NN}}} = 5.36 \text{ TeV}$

---

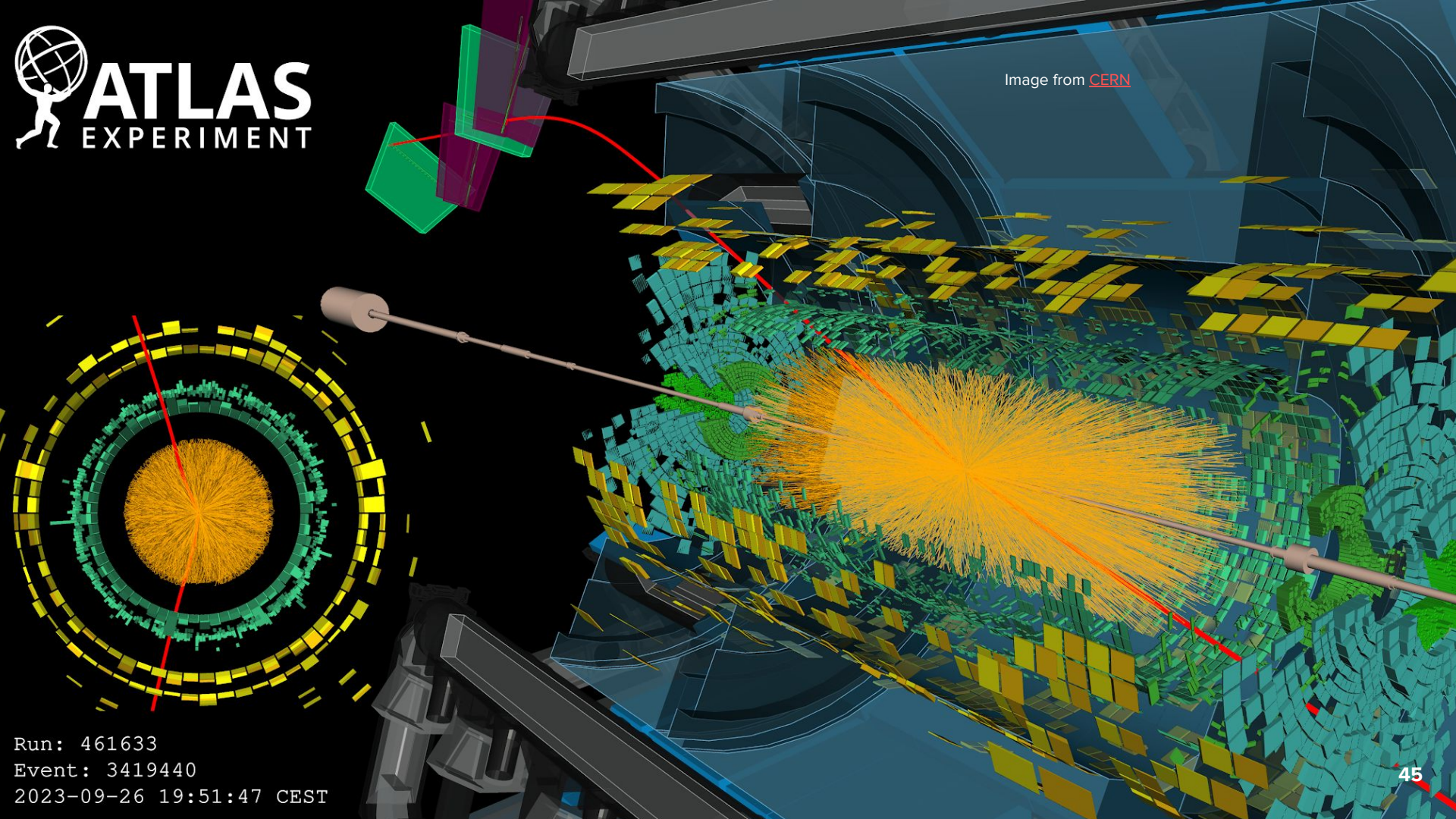
27 September 2023, 04:50





ATLAS  
EXPERIMENT

Image from [CERN](#)



Run: 461633

Event: 3419440

2023-09-26 19:51:47 CEST

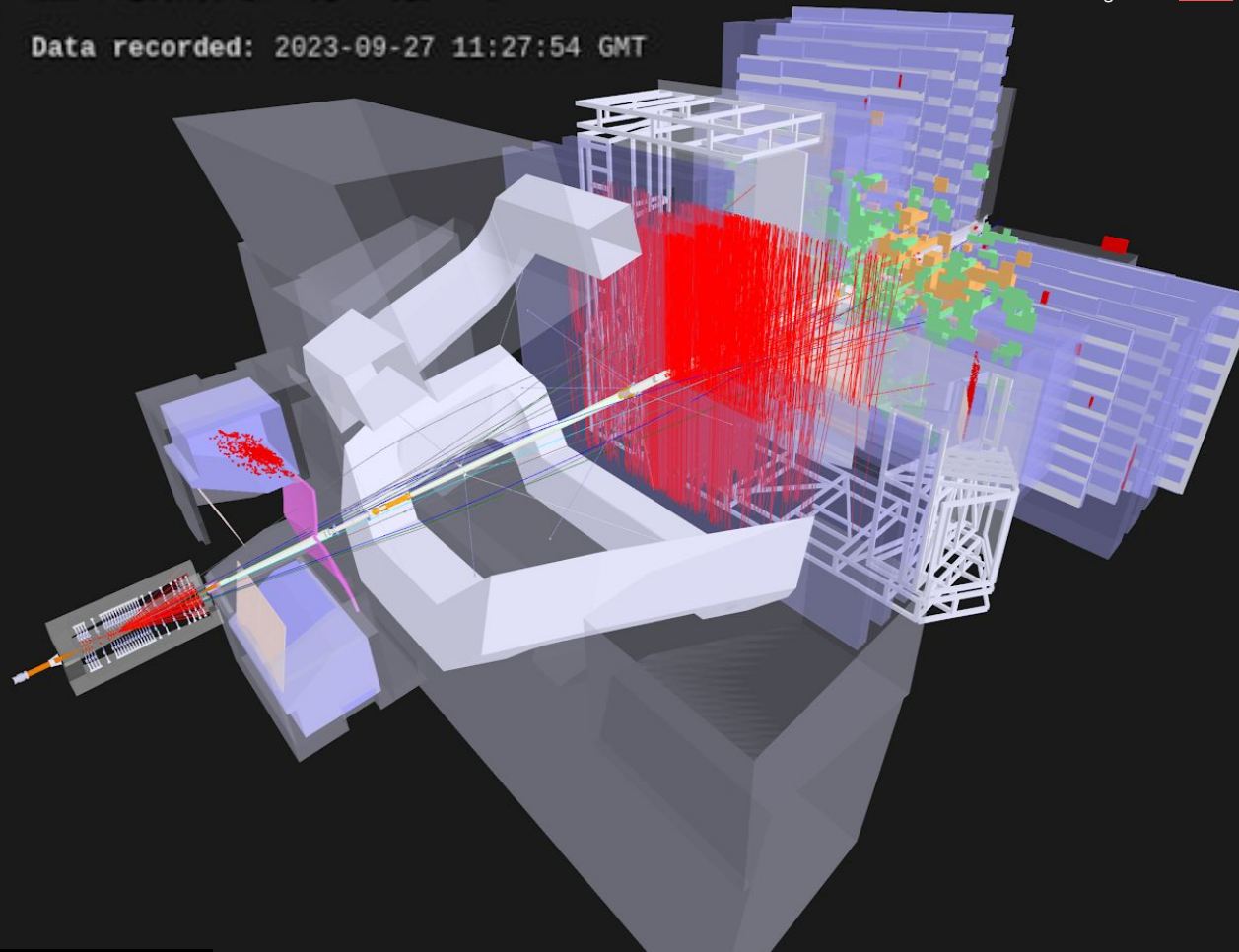


LHCb Experiment at CERN

Run / Event: 277491 / 5197775

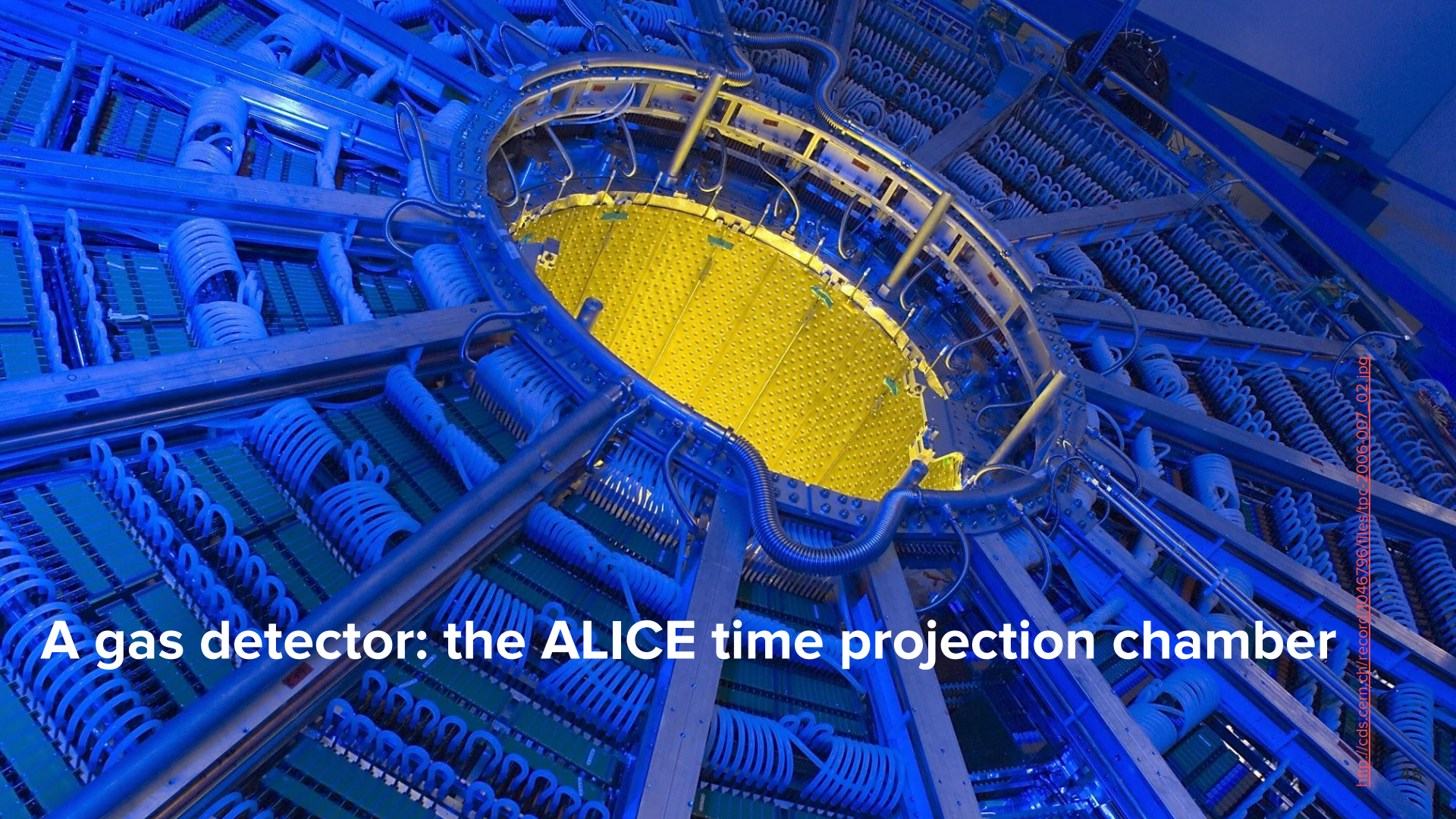
Data recorded: 2023-09-27 11:27:54 GMT

Image from [CERN](#)



# Gasdetectoren

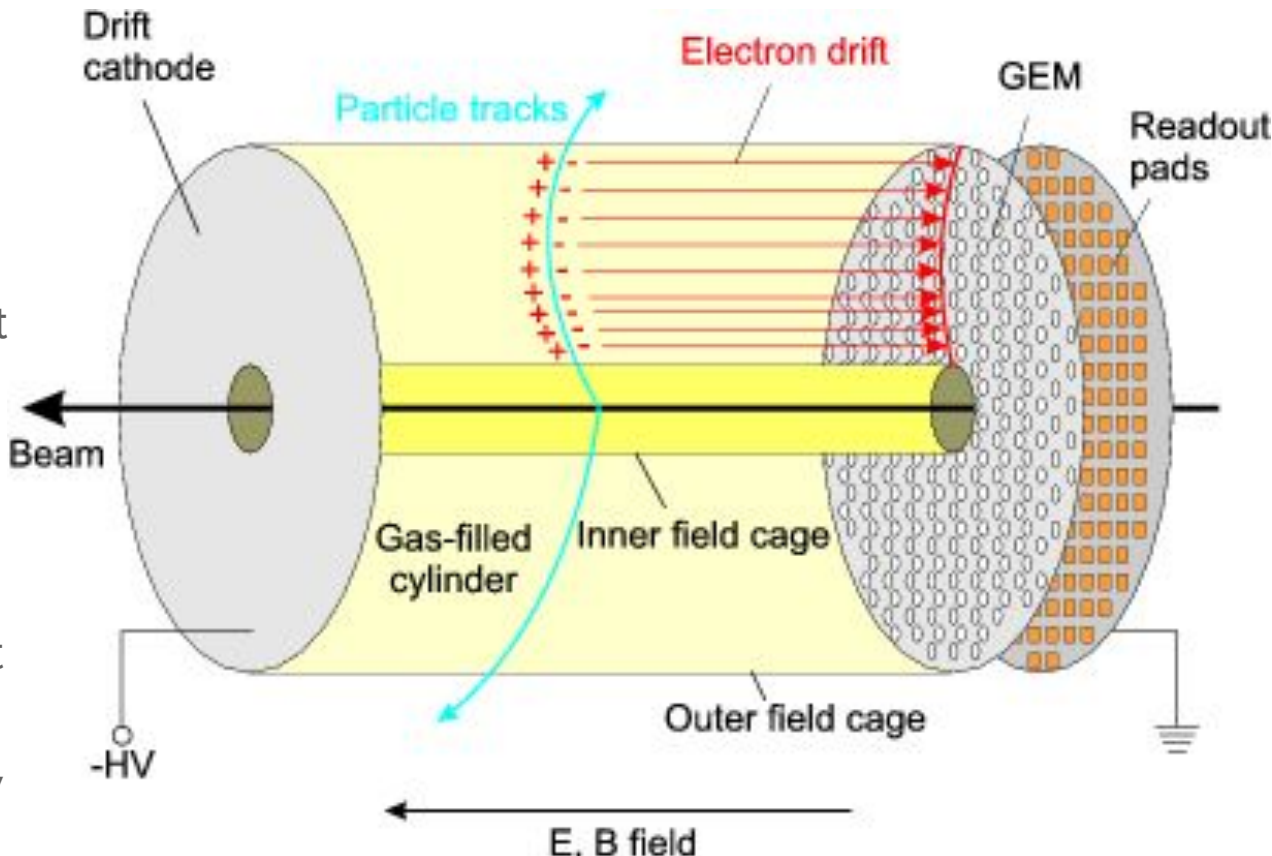
---



# A gas detector: the ALICE time projection chamber

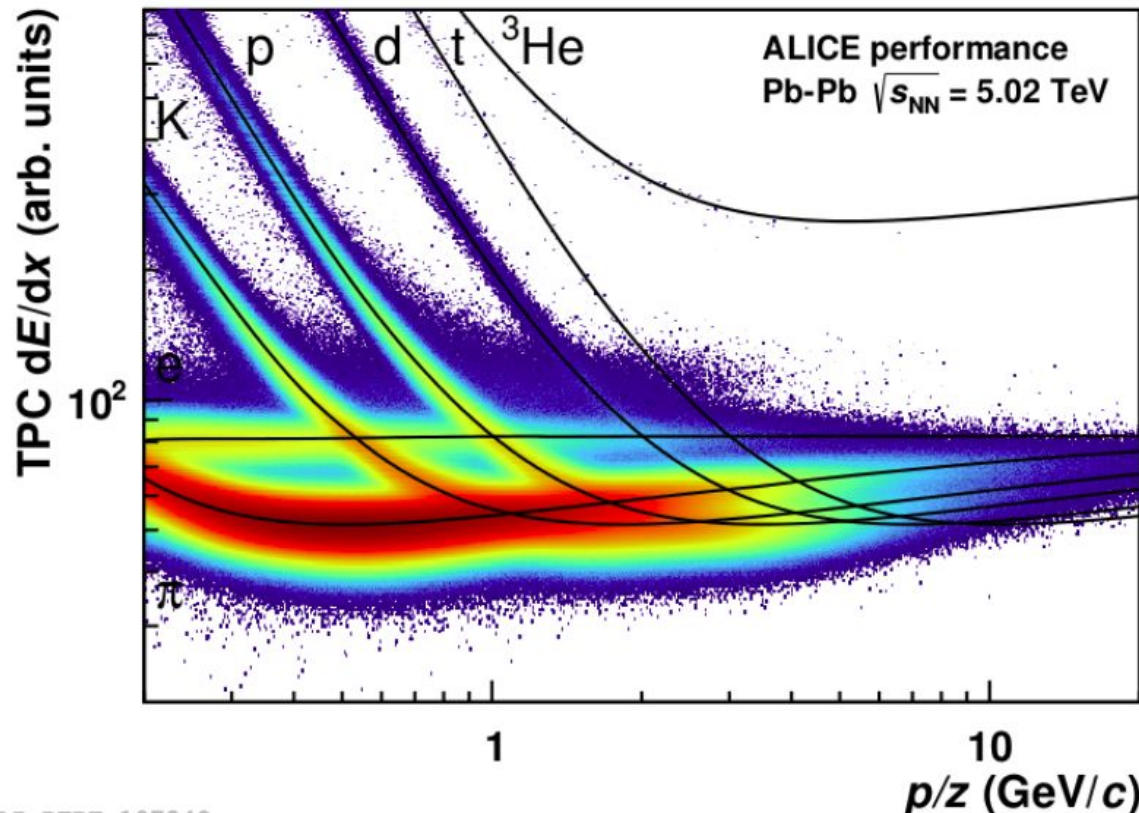
# TPC

1. Ionization of gas in **chamber** with electric field causes electron drift
2. Signal gets amplified, in this case by gas electron multipliers → electron avalanche
3. Readout pads can detect signal that can be **projected** onto trajectory
4. z (along beam) information from **timing**

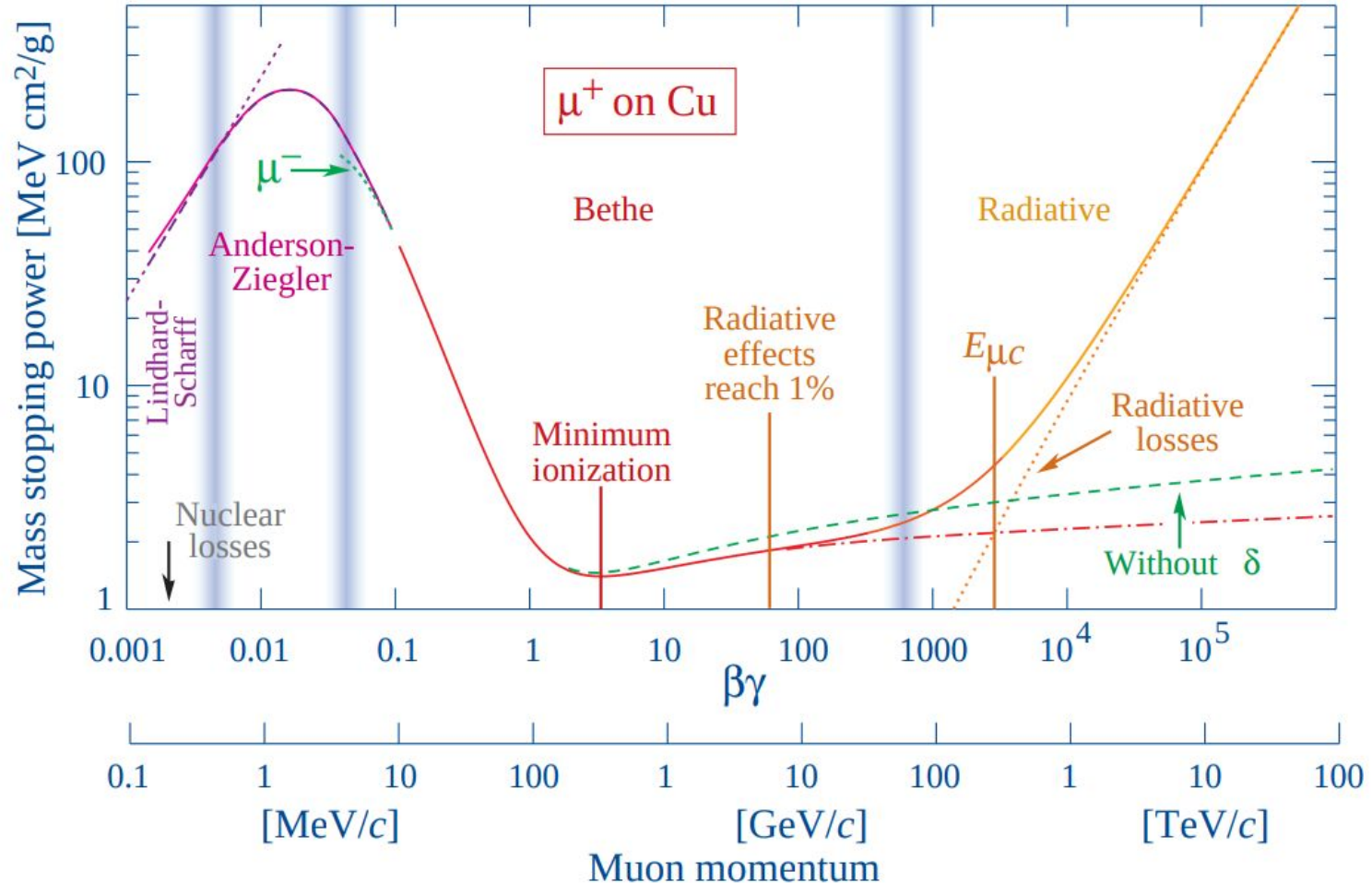


# ALICE time projection chamber: particle identification

- Every point is one measurement!
- Can identify particles for low momenta
- For higher momenta, all particles behave like a minimum ionizing particle (MIP)



# Ionization loss



# Silicium detectoren

---



**200 m<sup>2</sup> CMS silicon strip tracker**  
**The largest tracker ever built**

**A silicon tracking detector**

# ALICE inner tracking system:

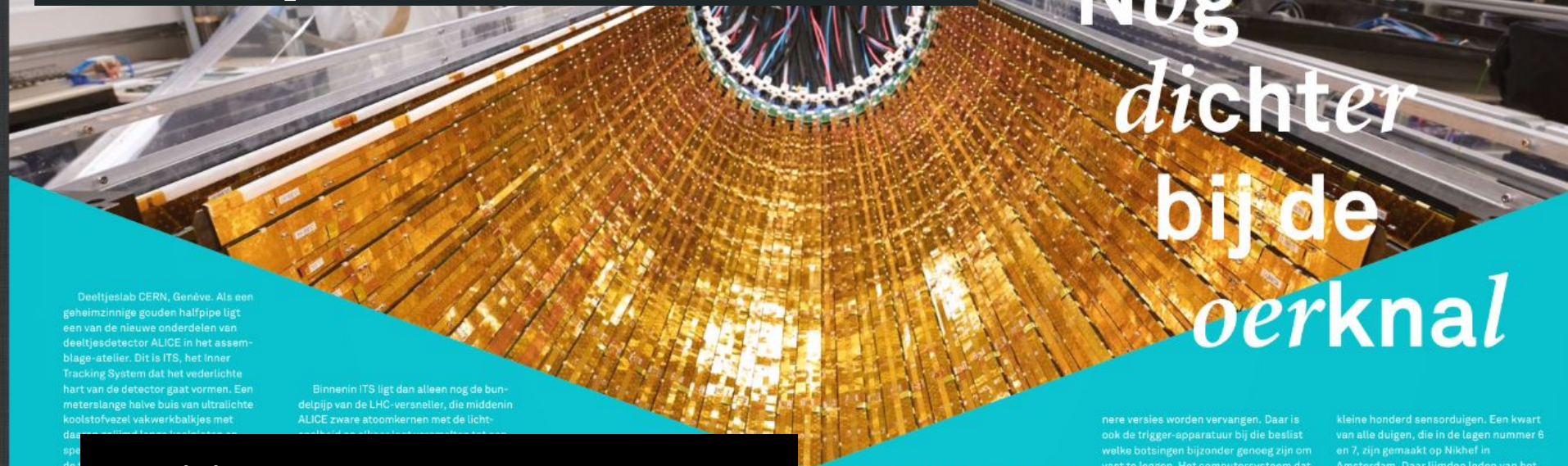
10 m<sup>2</sup> of active silicon area

nearly 13 billion pixels

The largest pixel detector ever built!



Nog  
dichter  
bij de  
oerknal



Deeltjeslab CERN, Genève. Als een geheimzinnige gouden halfpipe ligt een van de nieuwste onderdelen van deeljesdetector ALICE in het assemble-atelier. Dit is ITS, het inner Tracking System dat het vederlichte hart van de detector gaat vormen. Een meterslange halve buis van ultralichte koolstofvezel vakwerkbaljkjes met daarop gelijnde transistorkristallen en speciale sensoren. Dun genoeg om vrijkomende kogels te kunnen stoppen.

Binnenin ITS ligt dan alleen nog de buidelpijp van de LHC-versneller, die middelen ALICE zware atoomkernen met de lichtsnelheid op elkaar kan laten botsen tot een daardoor precies gaande is.

## A silicon PIXEL detector

dezelfde plak silicon zitten. Dat scheelt kabels en elektronica in de detector.

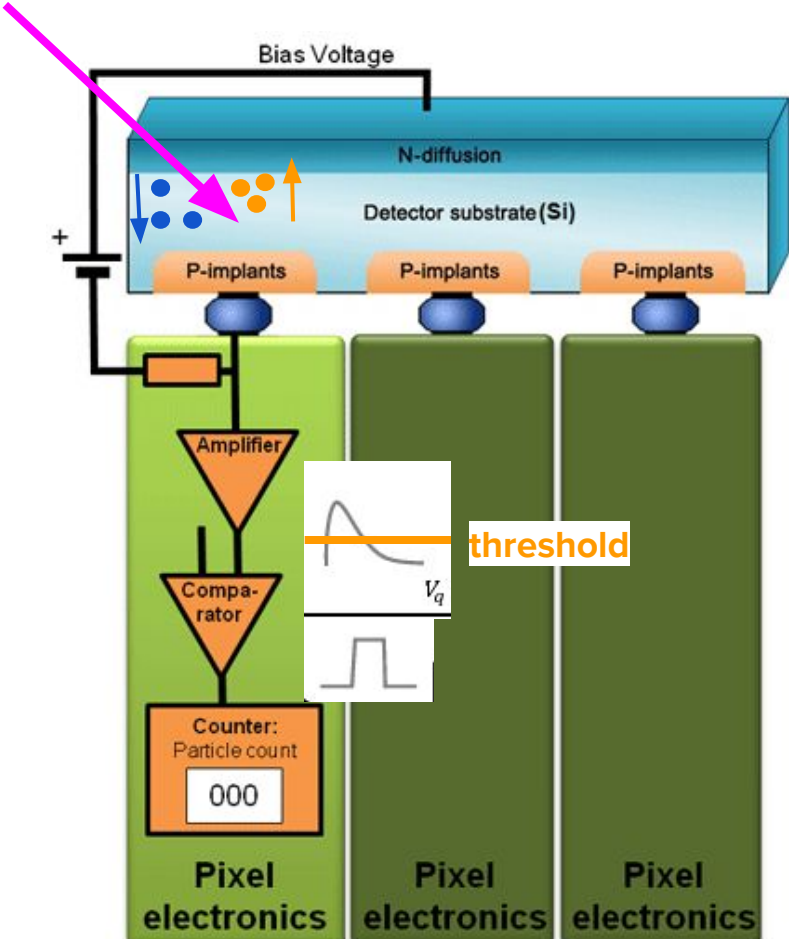
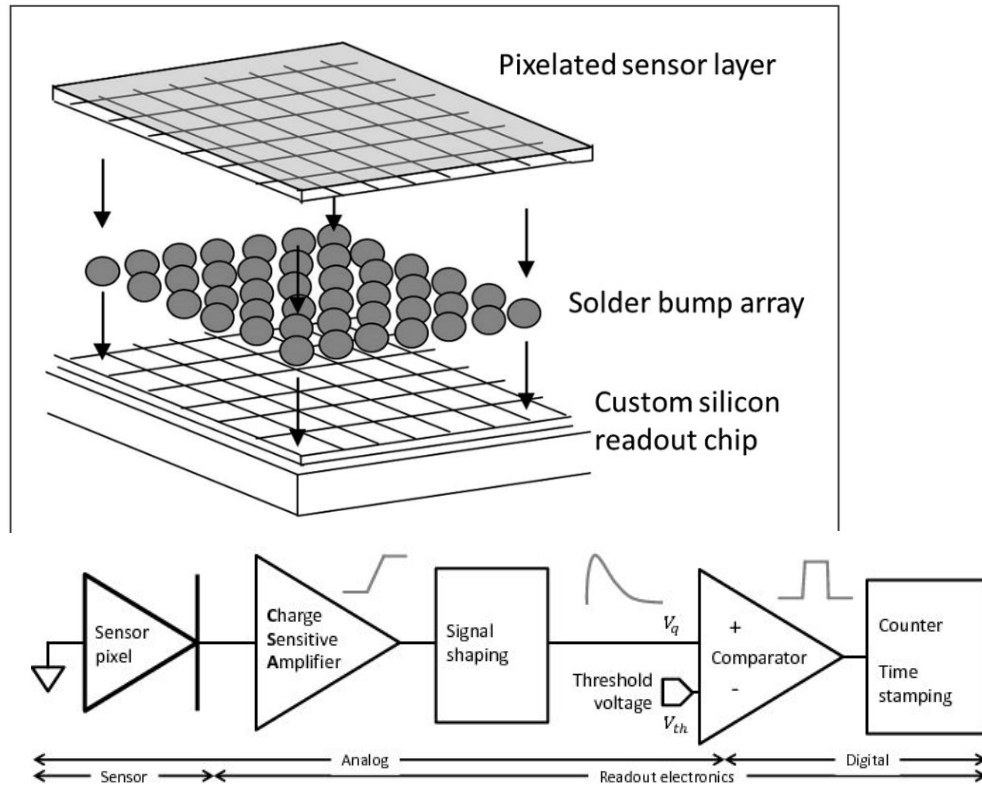
In de komende meetperiode kan ITS gemakkelijk honderd keer zoveel meetgegevens verzamelen als alles wat ALICE in

vroegere versies wille vervangen. Daar is ook de trigger-apparatuur bij die beslist welke botsingen bijzonder genoeg zijn om vast te leggen. Het computersysteem dat data verzamelt en toegankelijk maakt, wordt eveneens vernieuwd.

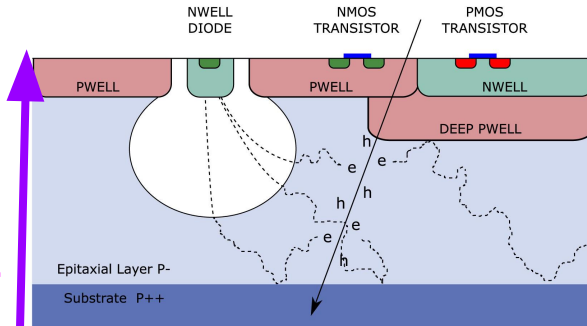
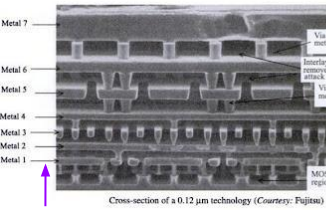
De upgrade-periode is een hectische tijd. Het binnenvan de grote ondergrondse detector is vorig jaar meteen

kleine honderd sensorduigen. Een kwart van alle duigen, die in de lagen nummer 6 en 7, zijn gemaakt op Nikhef in Amsterdam. Daar lijden leden van het ALICE-team met eindeloos geduld de kooling en de sensoren stuk voor stuk handmatig op de ijle koolstofvezel dragers. Deze sensorduigen zijn vorig najaar al in trillingsvrije kratten van Amsterdam

# A hybrid pixel detector



# ALICE monolithic sensors

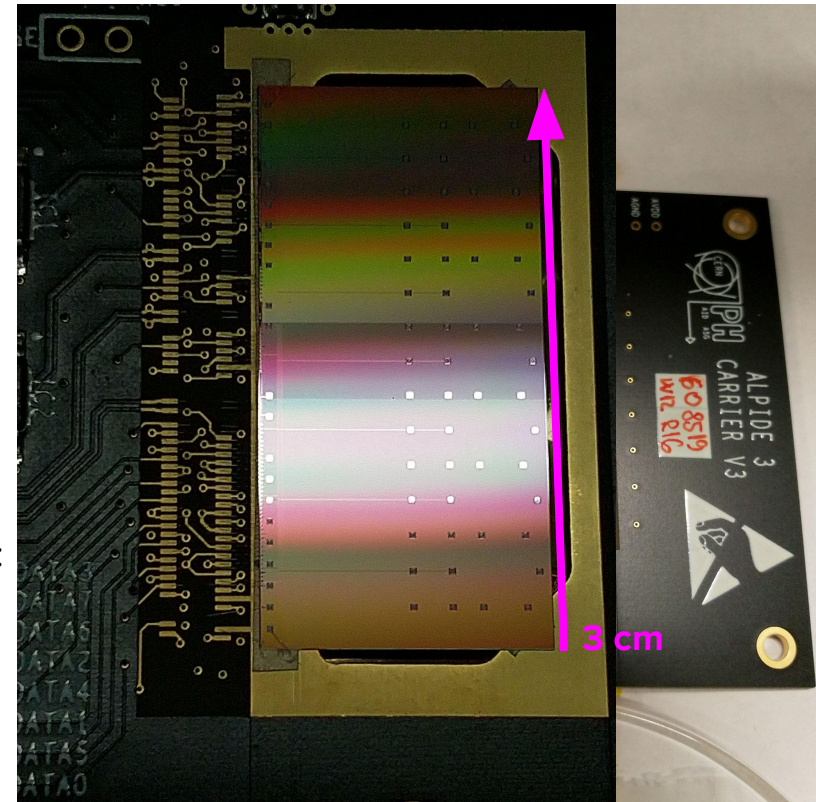
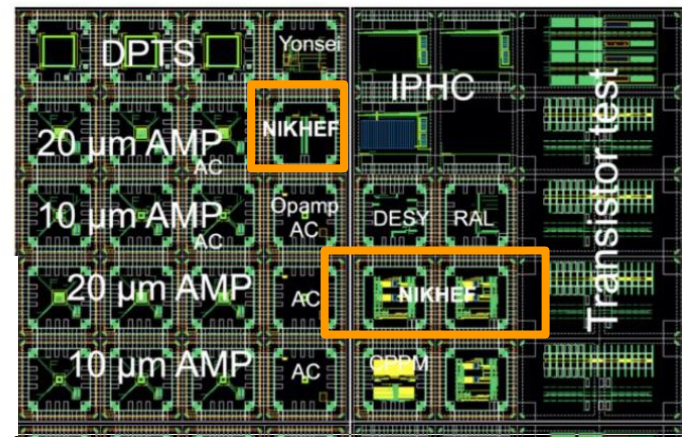


Talk at Vertex2021

$\sim 12 \text{ mm}$

1 pixel:  $28 \mu\text{m} \times 28 \mu\text{m}$

ALICE Pixel DEtector:  
ALPIDE  
TowerJazz 180nm



Monolithic: electronics integrated in the sensor! This reduces the amount of material.

Mijn passie: pixeldetectoren van silicium -- ook in je telefoon!

Zo dun, we kunnen ze buigen!



Nog  
dichter  
bij de  
oerknal

Ik werk aan hele snelle pixel detectoren: we gaan voor  
 $10 \text{ ps} = 0.00000000001 \text{ seconde!}$

Het goud is overigens geen goud,  
maar polyimide-folie met ragedunne  
koperen voedingskabels voor de sen-  
soren. Dun genoeg om vrijkomende

zijn ontstaan. ITS moet de de-  
betrapen die uit die zieden  
ontsnappen en de fysici vertellen wat er  
daarbinne precies gaande is.

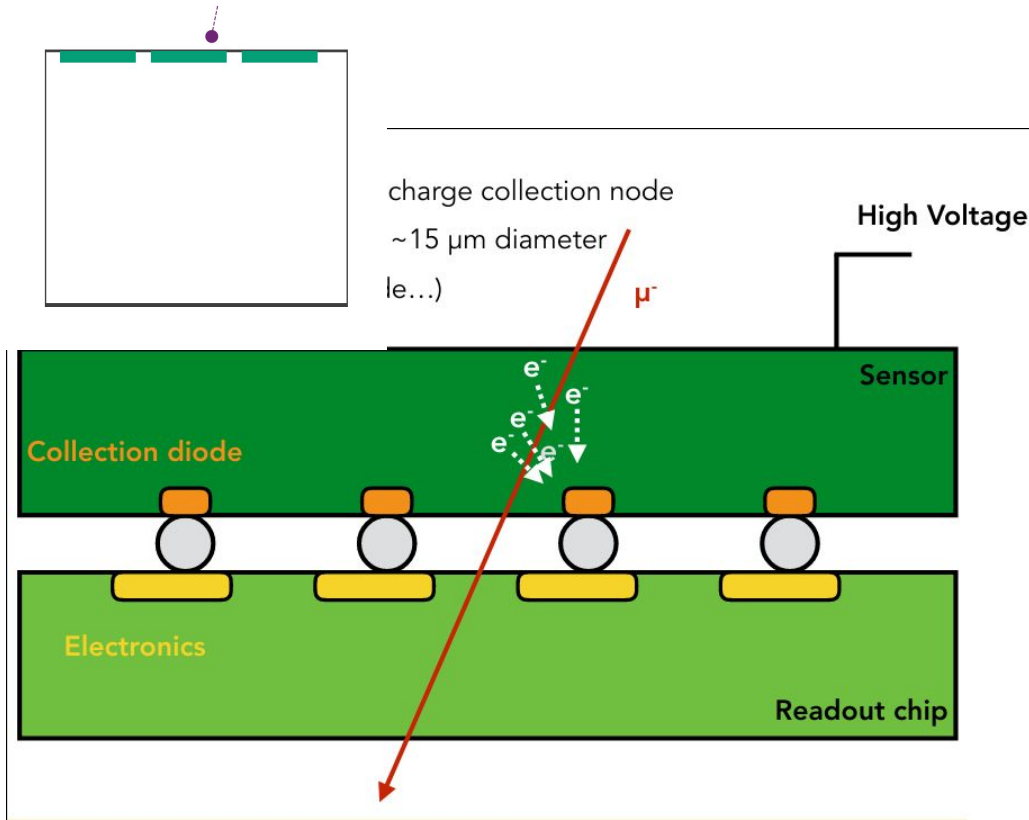
botsingen preciezer worden bekijken.

gemakkelijk honderd keer zoveel meetge-  
gevens verzamelen als alles wat ALICE in

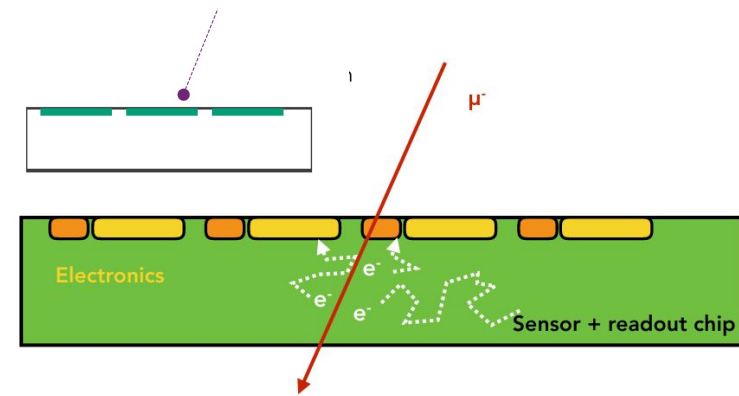
tijd. Het binnenste van de grote onder-  
grondse detector is vorig jaar meteen

gers. Deze sensorduigen zijn vorig najaar  
al in trillingsvrije kratten van Amsterdam

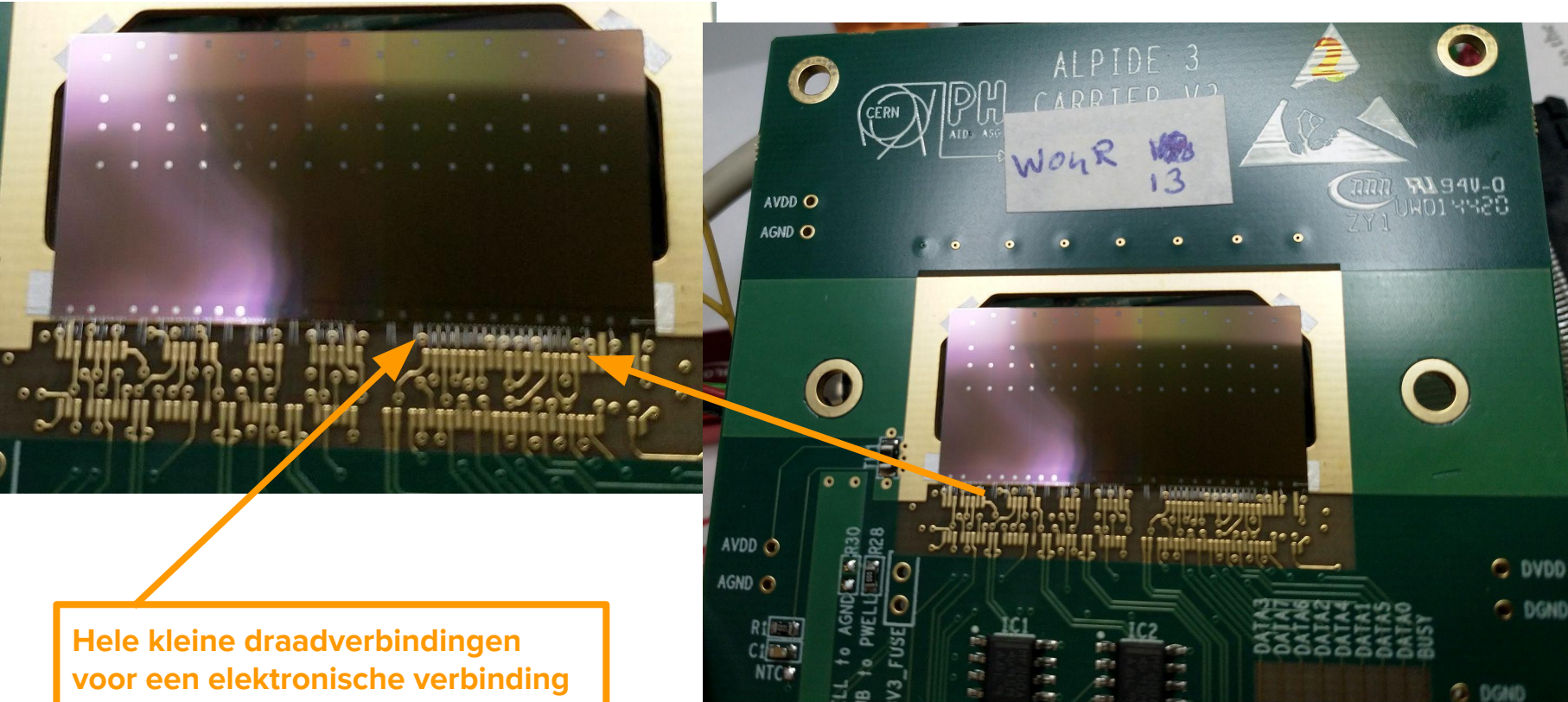
# Deeltjes maken lading los in een sensor: *ionisatie*



Ionisatie: atoom of molecuul raakt een elektron kwijt of krijgt er één bij.



# Een silicium pixeldetector



Hele kleine draadverbindingen  
voor een elektronische verbinding

# Detectie van deeltjes

Deeltjes laten sporen achter!

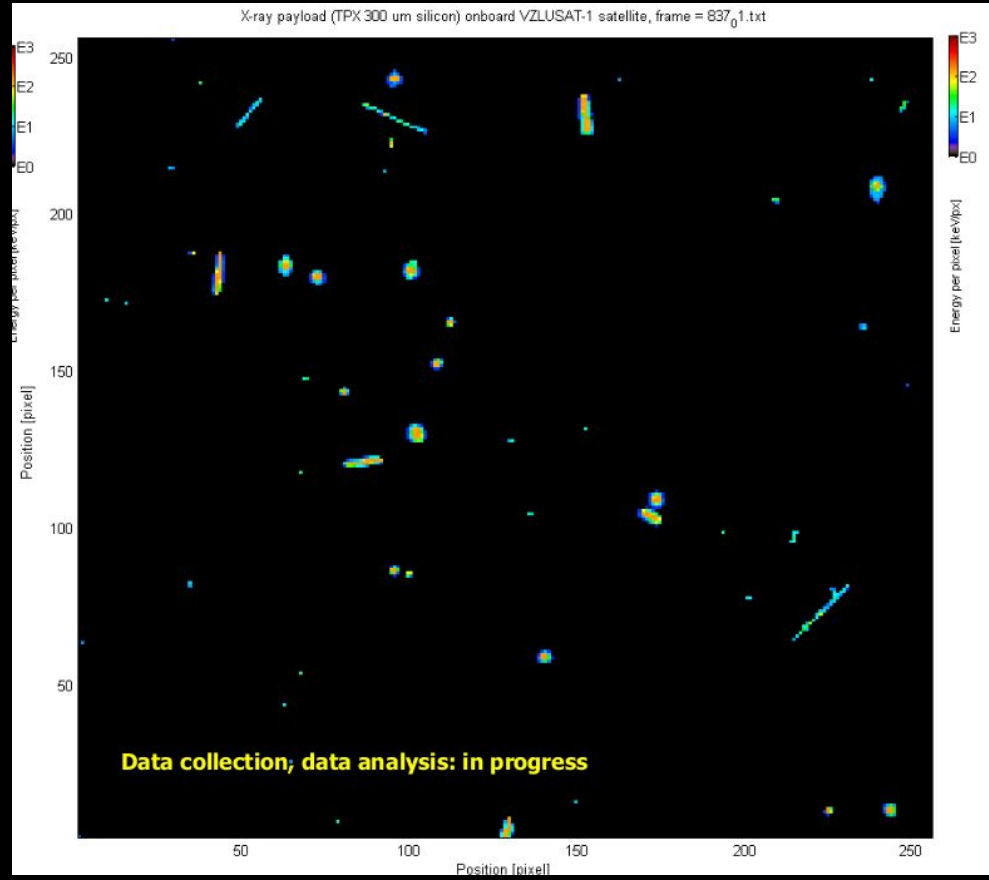
Timepix, Medipix

See also

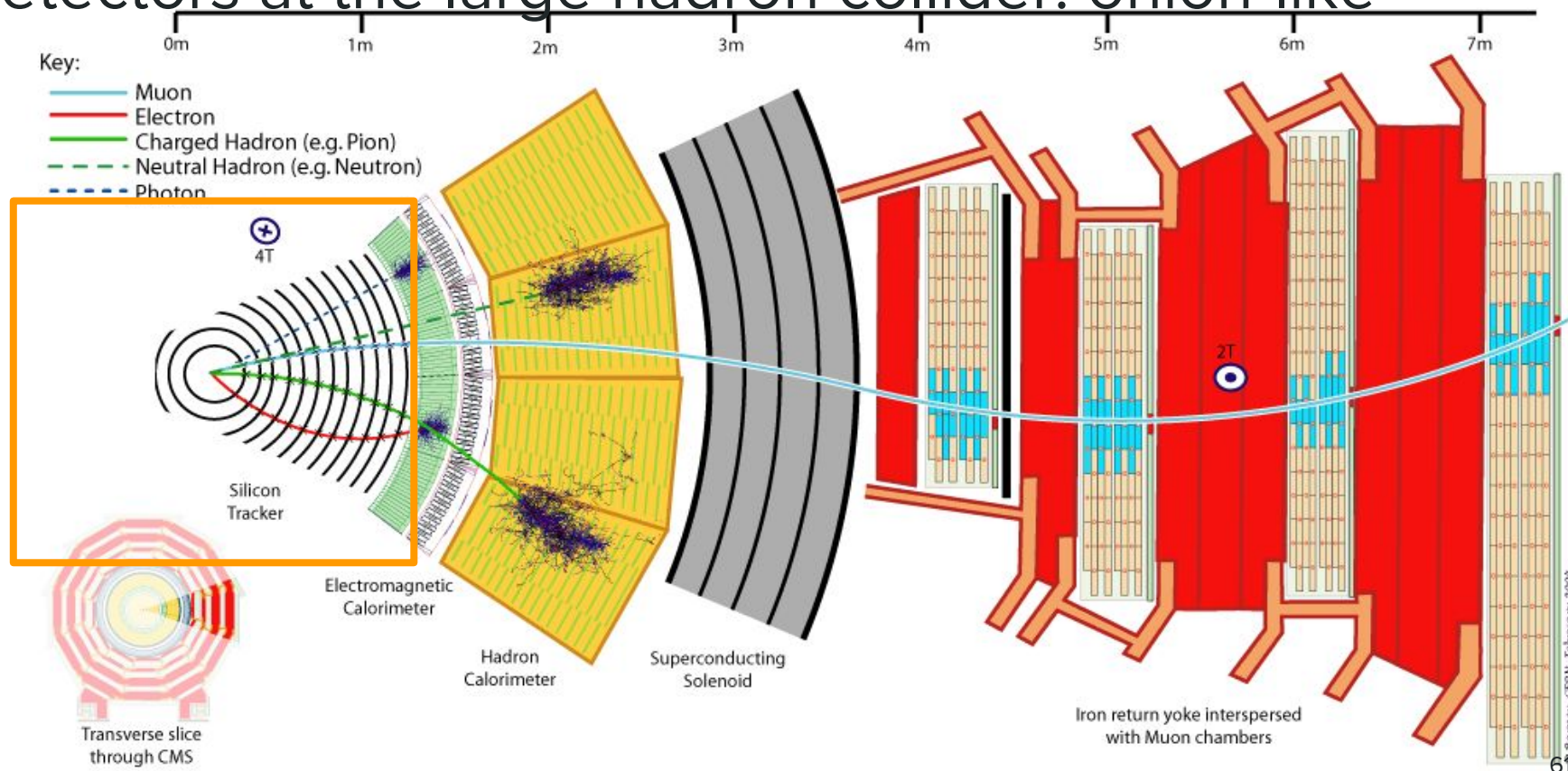
<https://advacam.com/camera/edu-kit/>

or no need for the whole package:

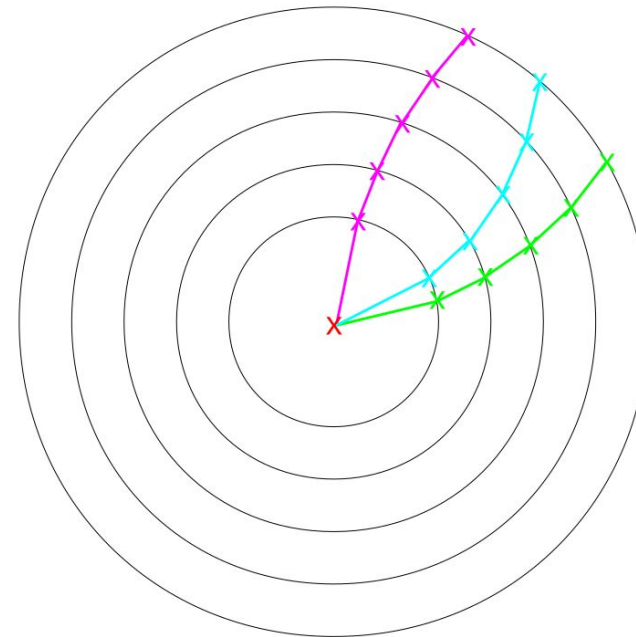
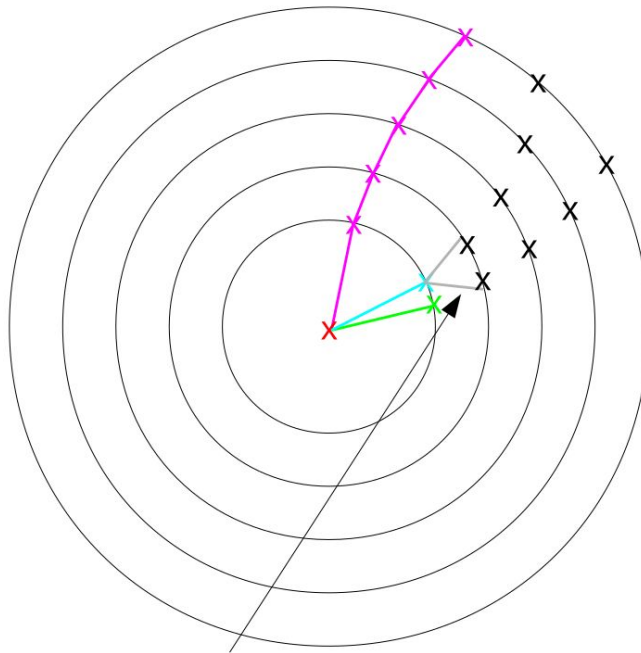
<https://advacam.com/camera/minipix-edu/>



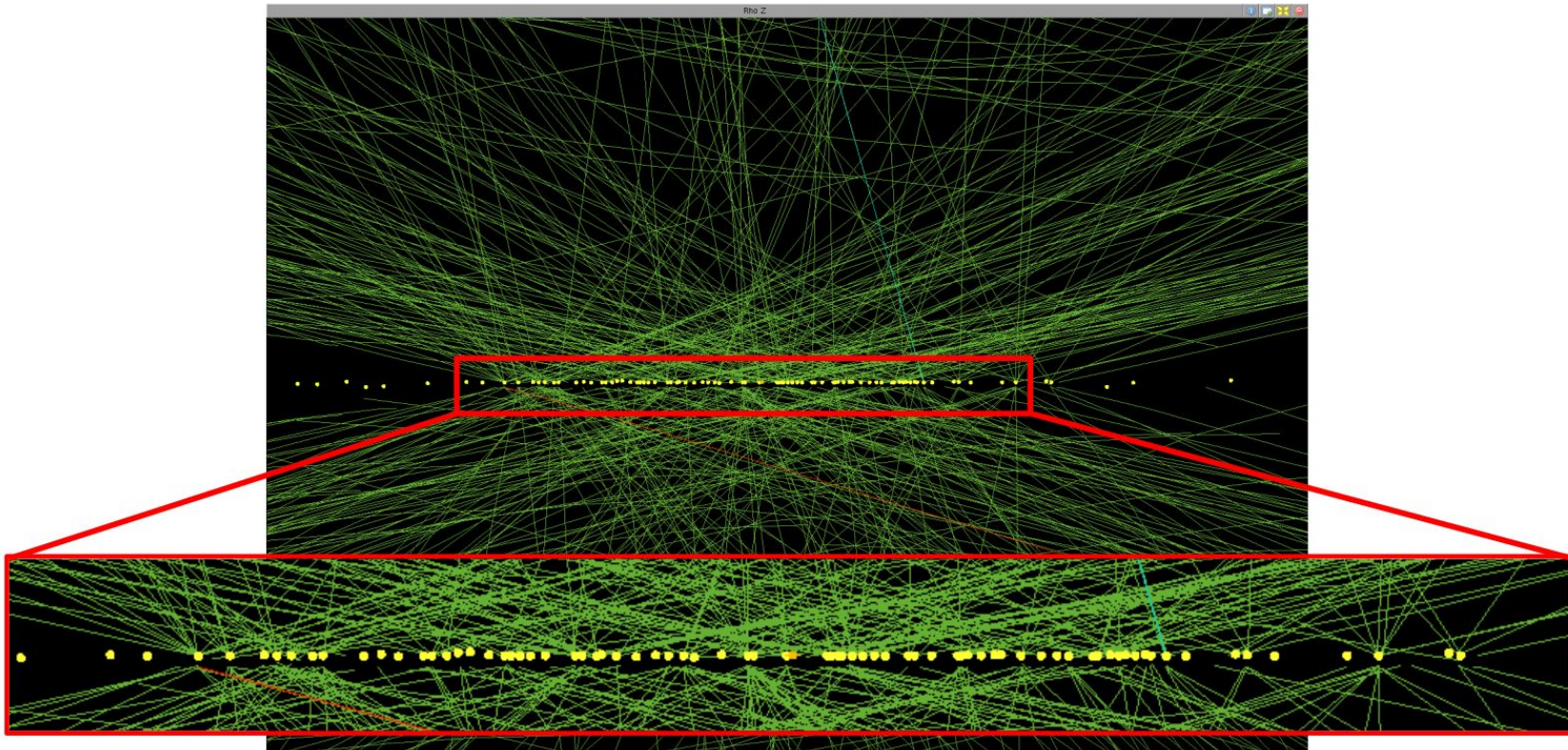
# Detectors at the large hadron collider: onion-like



# Track reconstruction: find hits that belong to track

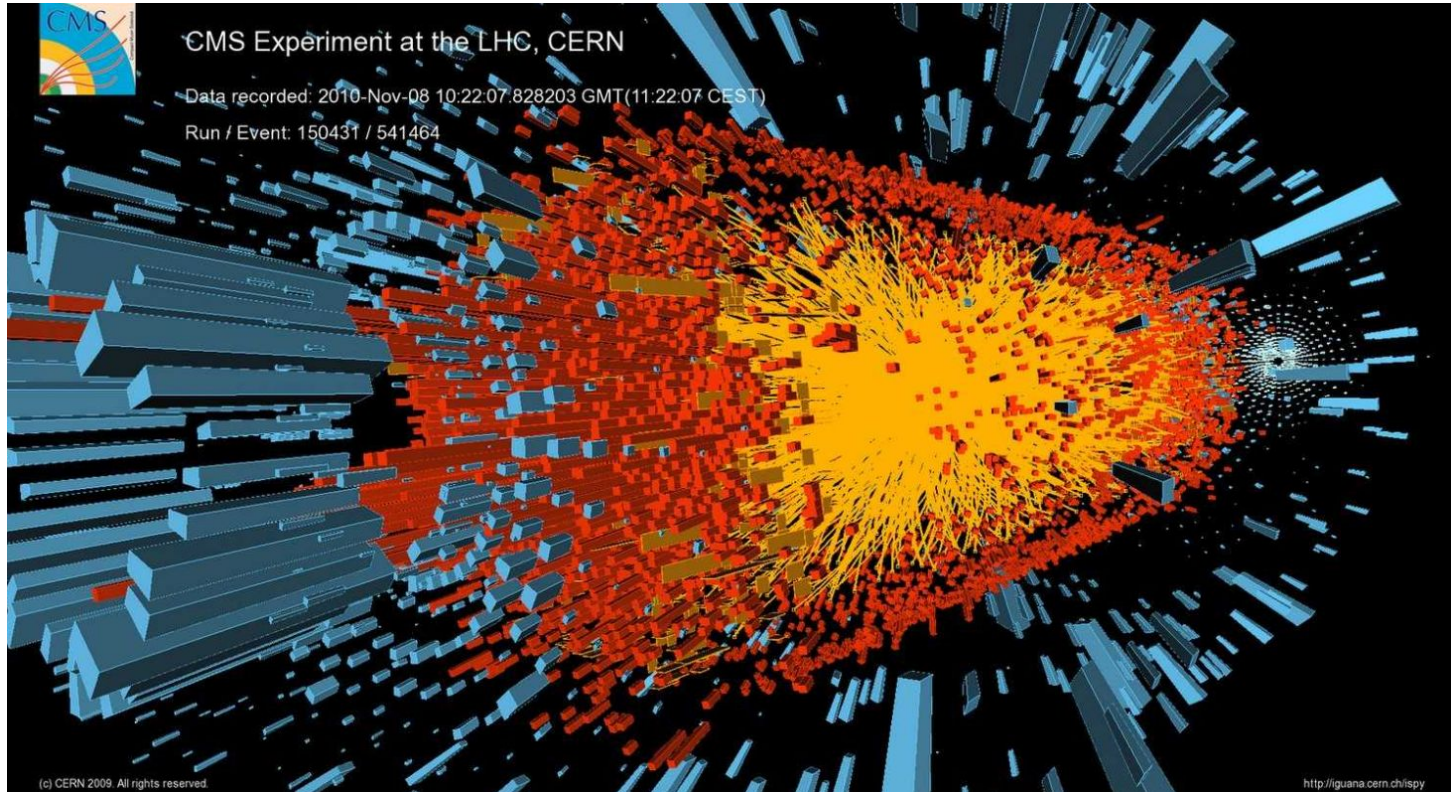


# What if 78 interactions happen simultaneously?



# Or a collision of 2 lead nuclei?

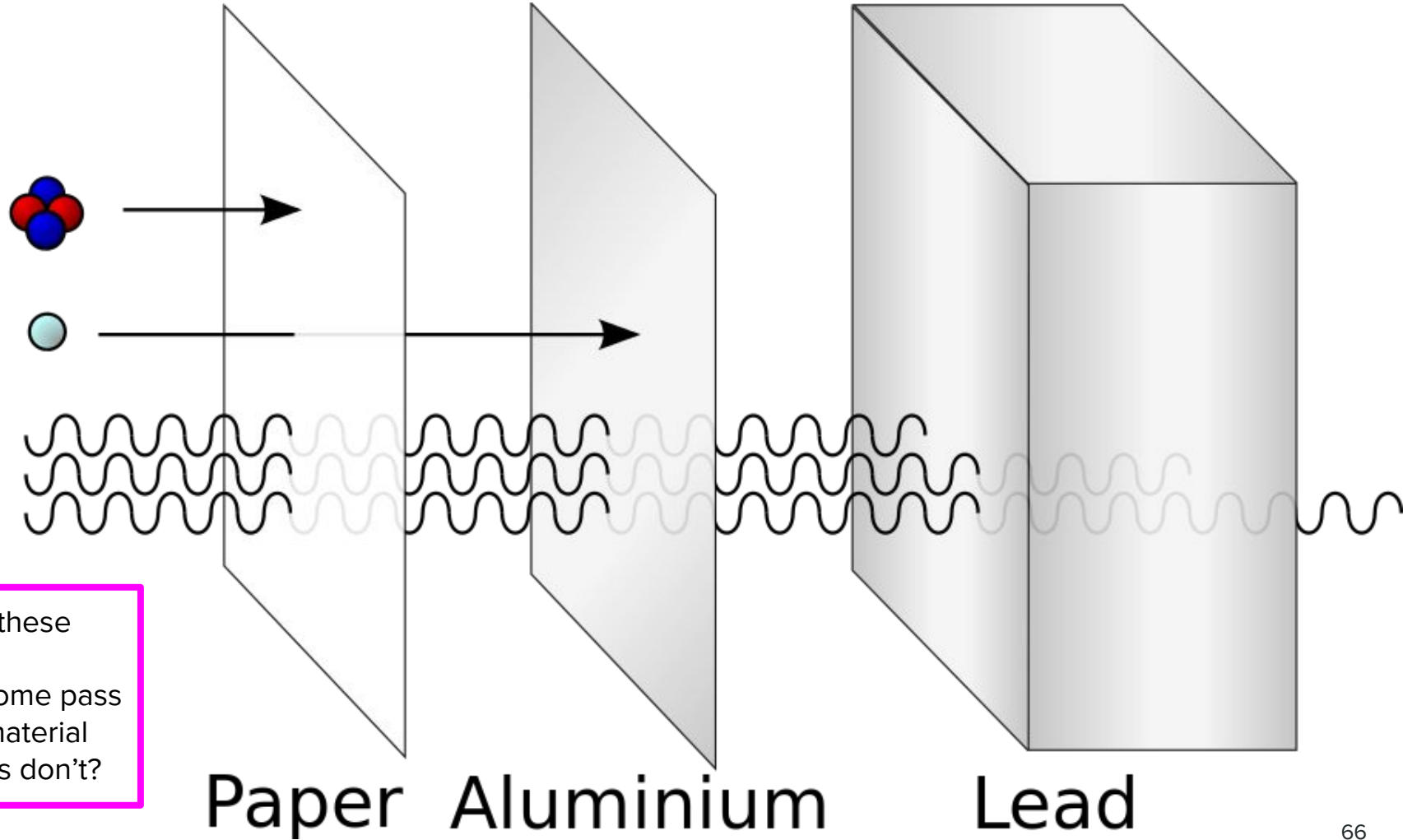
10000  
charged  
tracks!



# Calorimeters

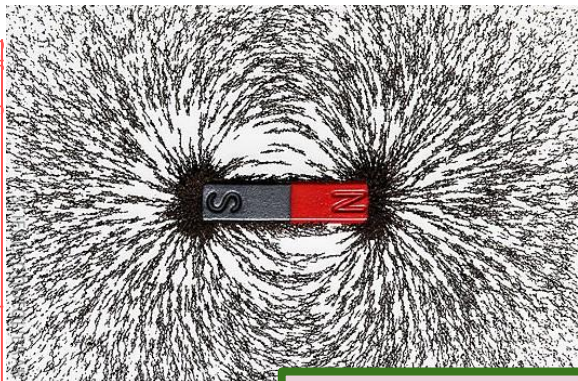
---

$\alpha$   
 $\beta$   
 $\gamma$



What are these  
particles?  
Why do some pass  
through material  
and others don't?

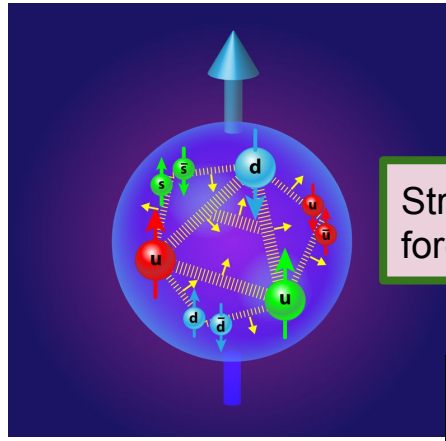
# Interactions: four known forces



electromagnetism

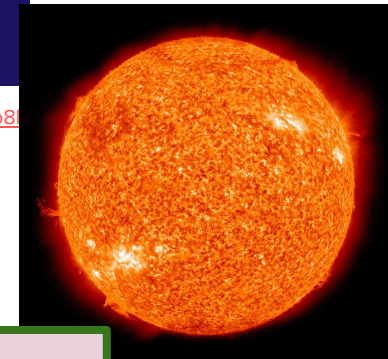
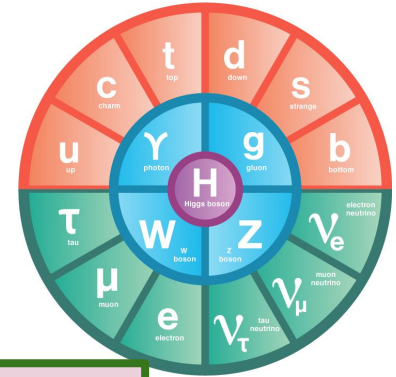


What are we made of?  
How do particles get  
mass?  
**Gravity is not described  
by the Standard Model!**



Strong nuclear  
force

[https://physics.aps.org/assets/89b4f0e0-b8b70d-d90f744d1790/e23\\_2.png](https://physics.aps.org/assets/89b4f0e0-b8b70d-d90f744d1790/e23_2.png)

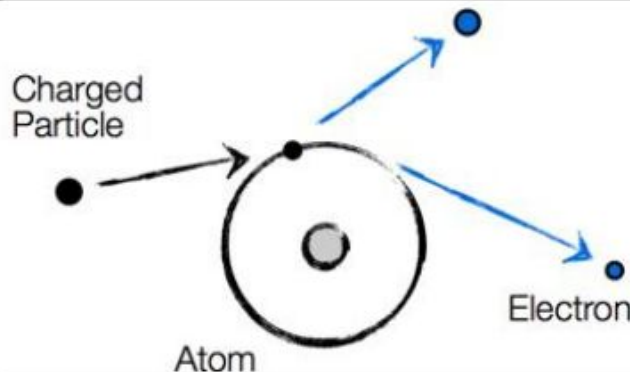


Weak nuclear  
force

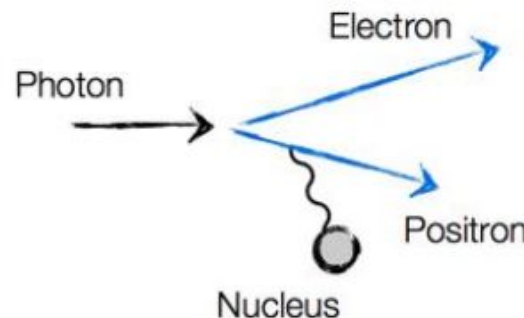
[https://upload.wikimedia.org/wikipedia/commons/thumb/b/b4/Th\\_e\\_Sun\\_by\\_the\\_Atmospheric\\_Imaging\\_Assembly\\_of\\_NASA%22\\_s\\_Solar\\_Dynamics\\_Observatory\\_-\\_20100819.jpg](https://upload.wikimedia.org/wikipedia/commons/thumb/b/b4/Th_e_Sun_by_the_Atmospheric_Imaging_Assembly_of_NASA%22_s_Solar_Dynamics_Observatory_-_20100819.jpg)

# Interaction with matter: destructive measurement

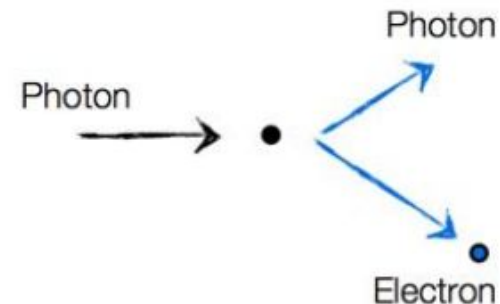
ionisation



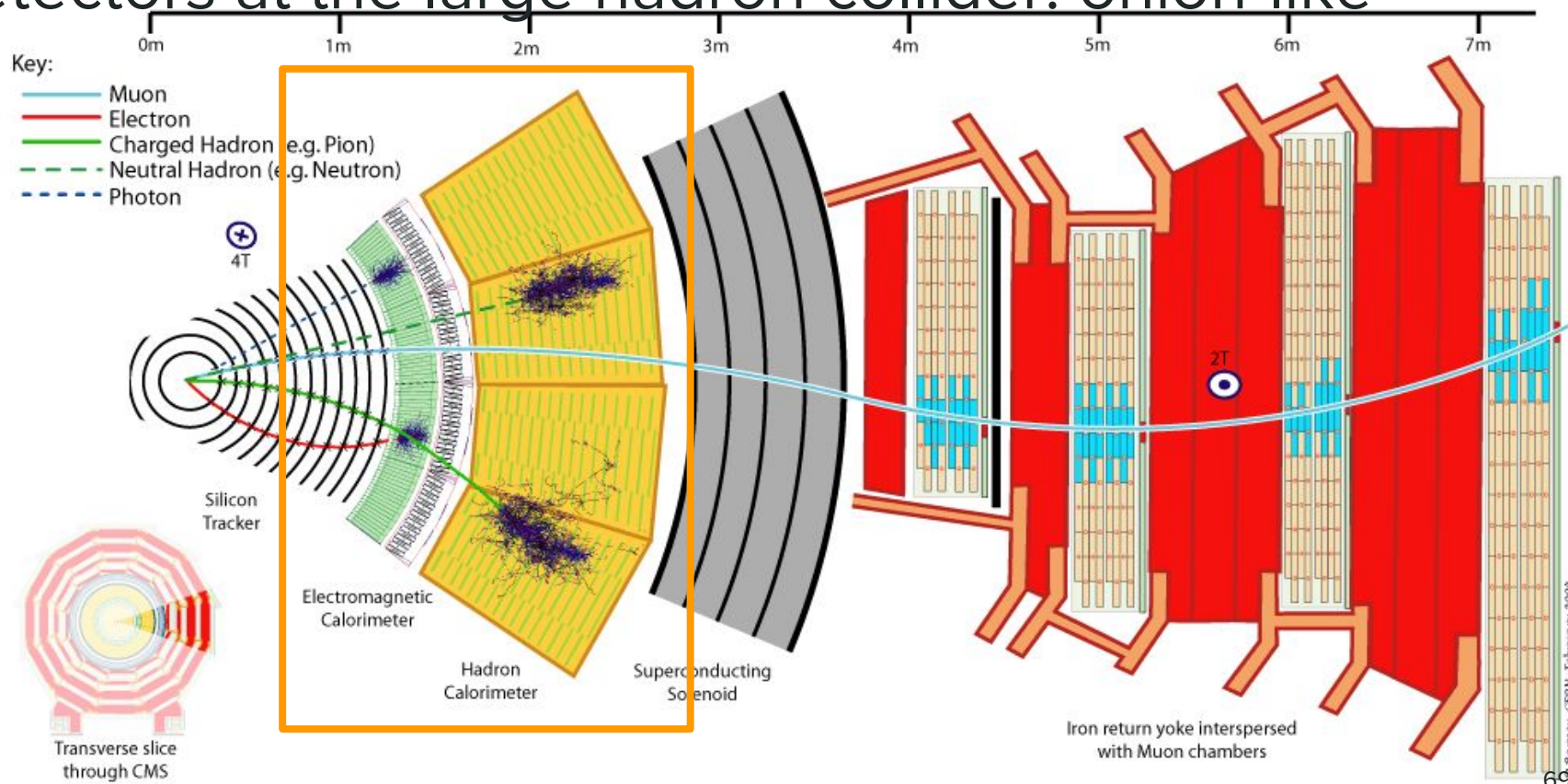
Electron-positron pair production



Compton scattering

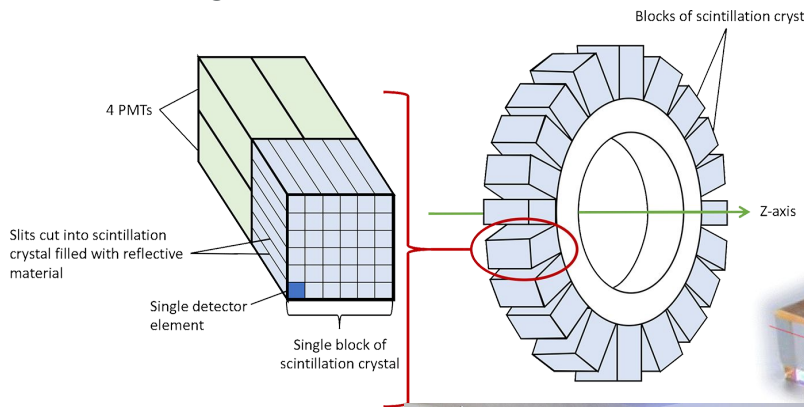


# Detectors at the large hadron collider: onion-like

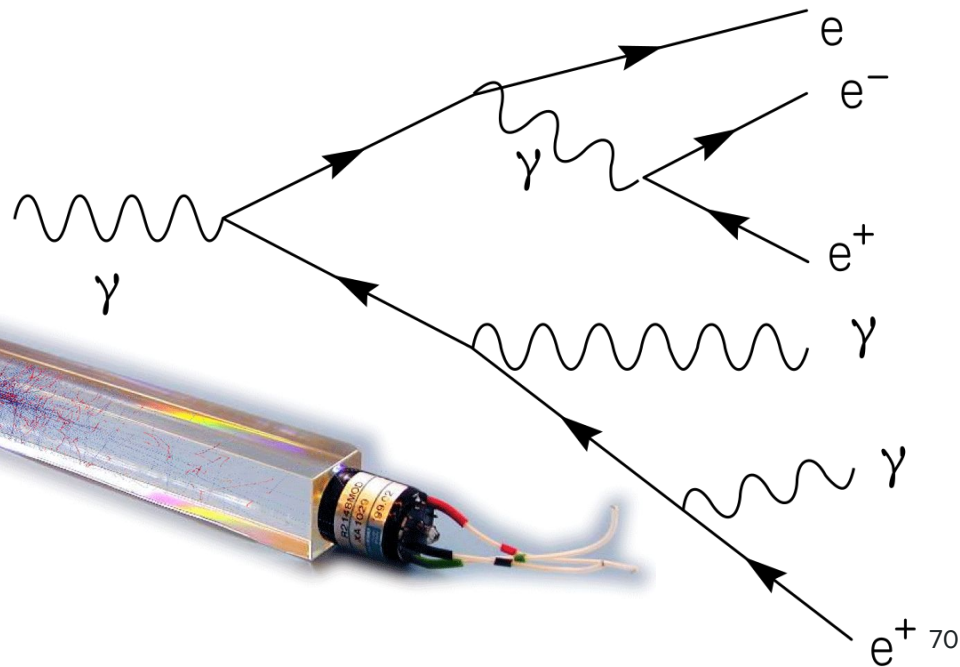


# Electromagnetic calorimeter

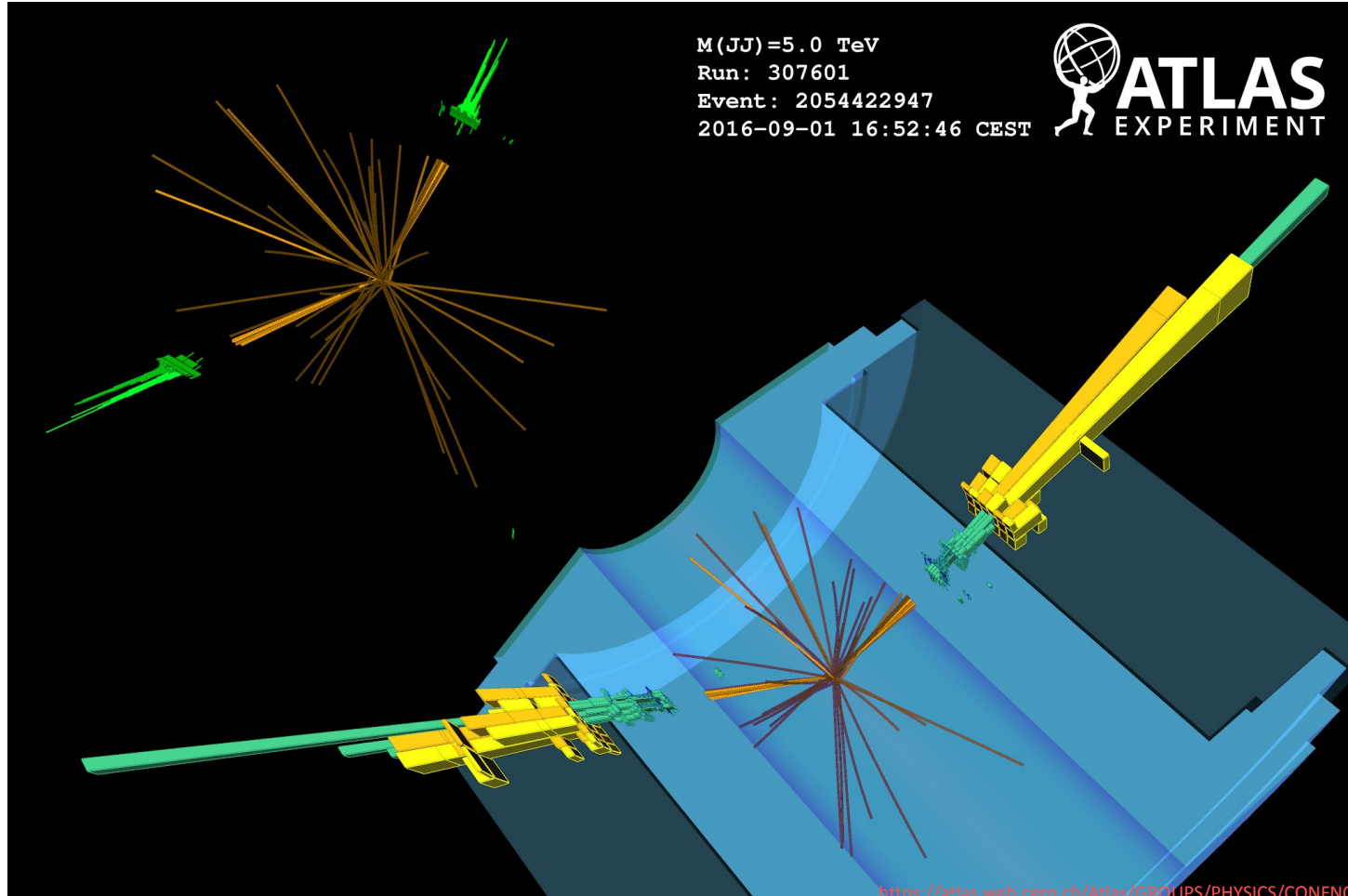
- Electromagnetic shower by interaction with material
- CMS uses scintillating lead tungstate crystals of 1.5 kg that can take 2 days to grow!
- Light detected with a photomultiplier tube



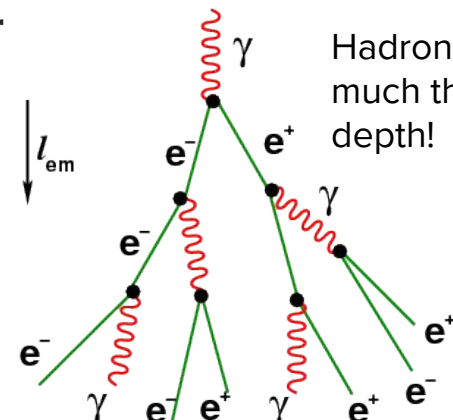
Same crystals  
used in PET  
scanners



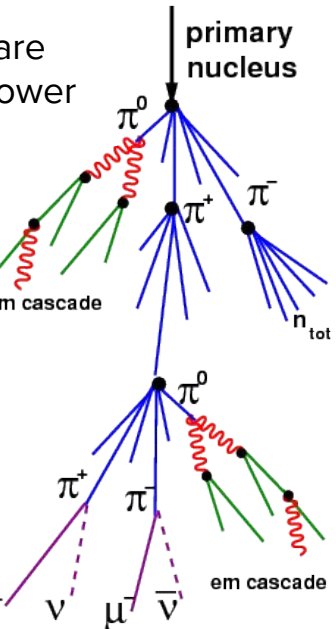
# Diboson event: jets in the ATLAS detector



## em cascade



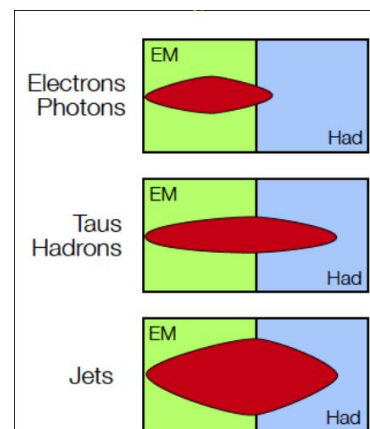
Hadronic calorimeters are much thicker: larger shower depth!



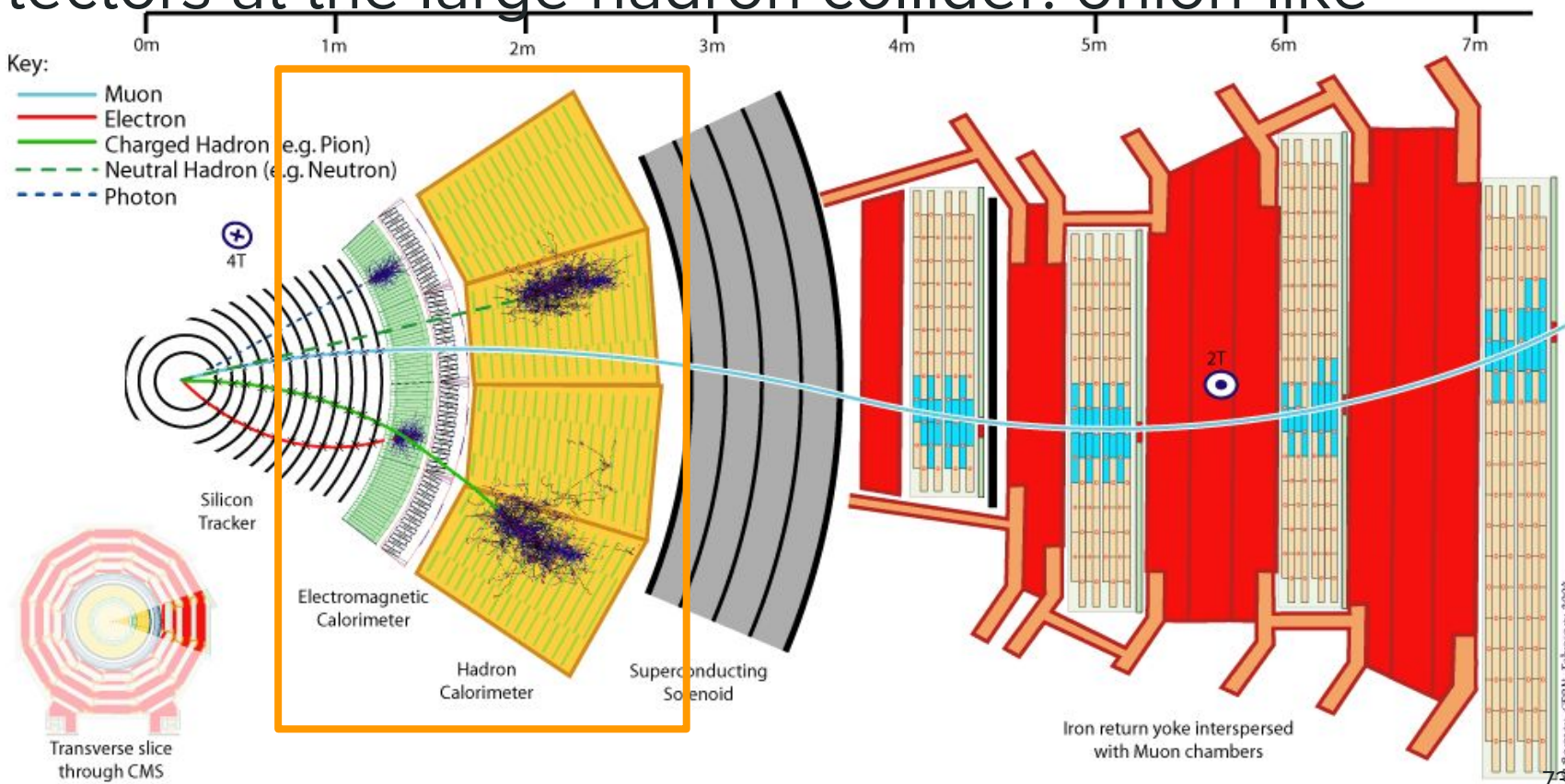
# Hadronic calorimeter

|        | $\lambda_{\text{int}}$ [cm] | $X_0$ [cm] |
|--------|-----------------------------|------------|
| Szint. | 79.4                        | 42.2       |
| LAr    | 83.7                        | 14.0       |
| Fe     | 16.8                        | 1.76       |
| Pb     | 17.1                        | 0.56       |
| U      | 10.5                        | 0.32       |
| C      | 38.1                        | 18.8       |

Need to consider fractions of energy in each calorimeter



# Detectors at the large hadron collider: onion-like



# How to measure neutrinos?

---

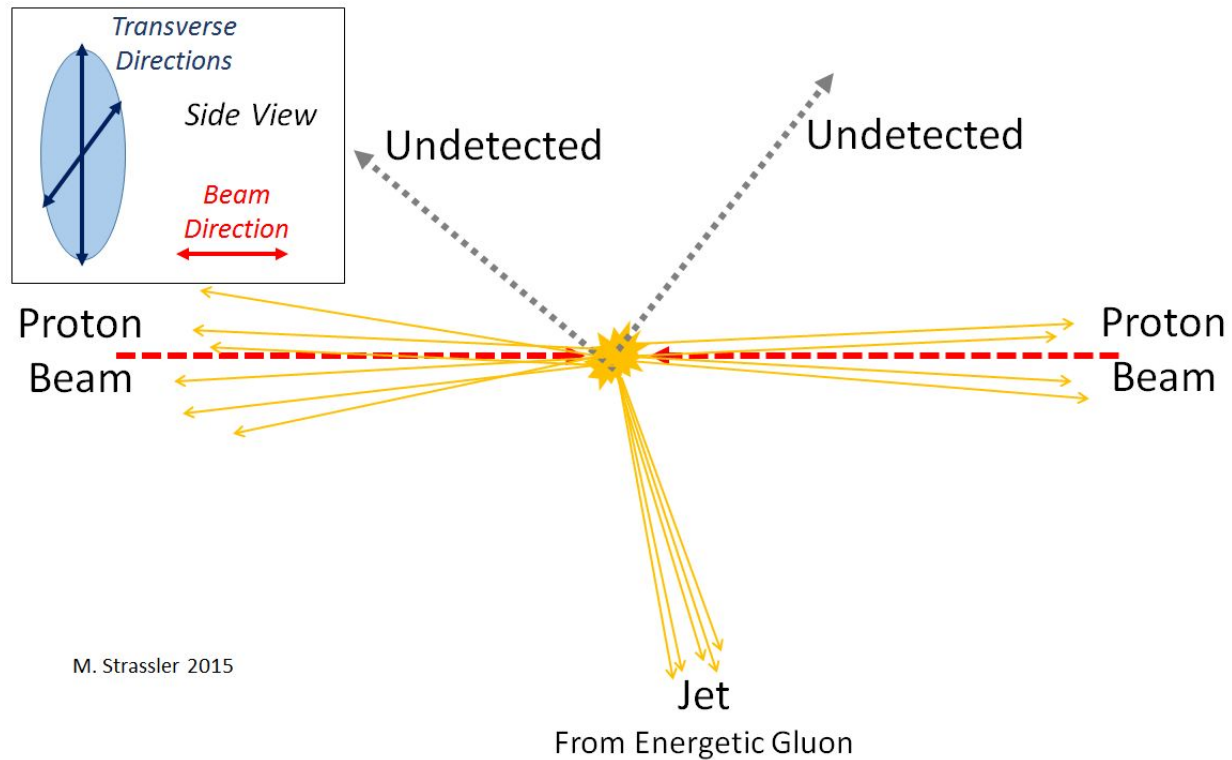
# Missing transverse momentum

Neutrinos?

Mismeasurement?

Detector effect?

Dark matter?



- $10^9$  neutrinos /  $\text{cm}^2/\text{s}$
- De meeste van de zon en uit de atmosfeer
- Zeldzame gebeurtenissen van zwarte gaten, supernovae...

## KM3NeT: cubic kilometer neutrino telescope

- Tussen 2 en 4 km diep in middelandse zee (FR-IT-GR)
- 12000 digital optical modules (DOMs) aan 600 draden
- Cherenkov detectie met fotobuizen
- GeV, TeV, and PeV neutrinos

Nederland speelt een grote rol in de constructie!

- $10^9$  neutrinos /  $\text{cm}^2/\text{s}$
- Most from sun and atmosphere
- Rare events from black holes, supernovae...



## *Neutrinojagers bouwen hun sensorbollen in Amsterdam*

In de PIMU-hal van Nikhef op het Amsterdam Science Park is afgelopen zomer de massaproductie gestart van onderdelen voor de reusachtige internationale KM3NeT neutrino telescoop die op de bodem van de Middellandse Zee wordt gebouwd.

Wekelijks kunnen daar acht tot twaalf

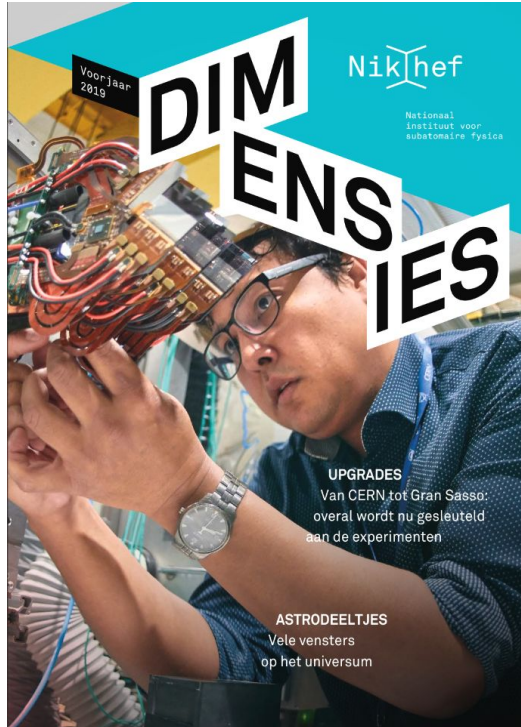


# Kom ook eens langs op Nikhef

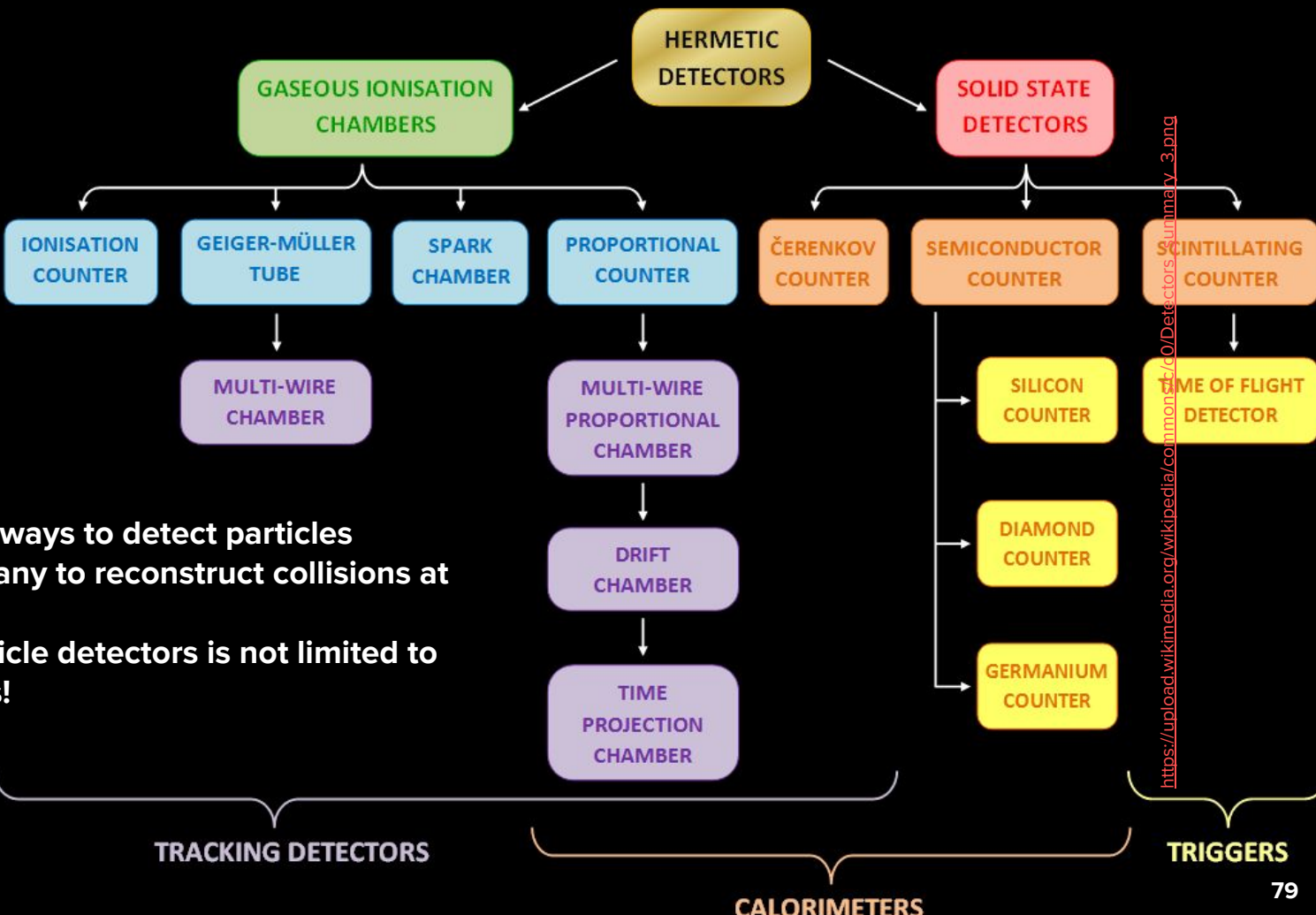
<https://www.nikhef.nl/publiek/bezoek-nikhef/open-dag/>

Op Nikhef werken we mee aan detectoren die op CERN bij de LHC worden geïnstalleerd!

[Profielwerkstuk op Nikhef](#)



# Summary



- Many different ways to detect particles
- We combine many to reconstruct collisions at the LHC
- The use of particle detectors is not limited to collider physics!

# Extra materiaal

---

# Build your own muon detector

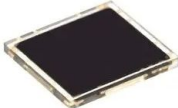
Silicon  
photomultiplier



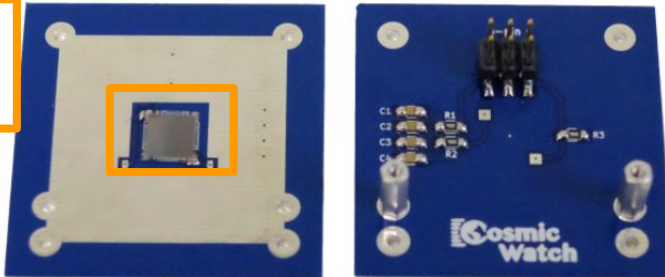
Start > Semiconductors - ICs > IC Sensors > Silicon Phot

**MICROFC-60035-SMT-TR1**  
Silicon Photomultiplier (SiPM), C-Series, 6mmx6n

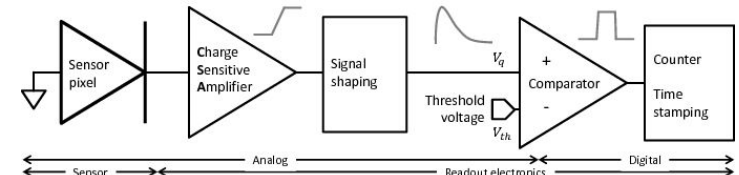
Date/Lot Code



Cosmic Watch  
Detector



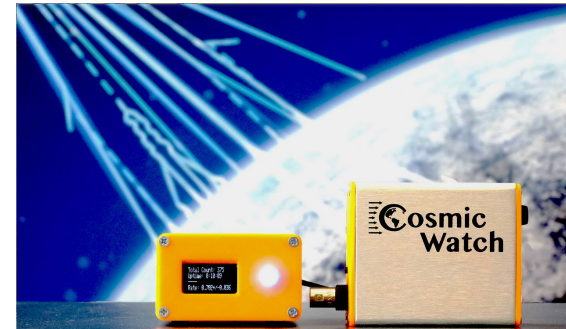
With a scintillator (plastic) and a silicon photomultiplier you can build your own muon detector!



Readout: arduino



scintillator

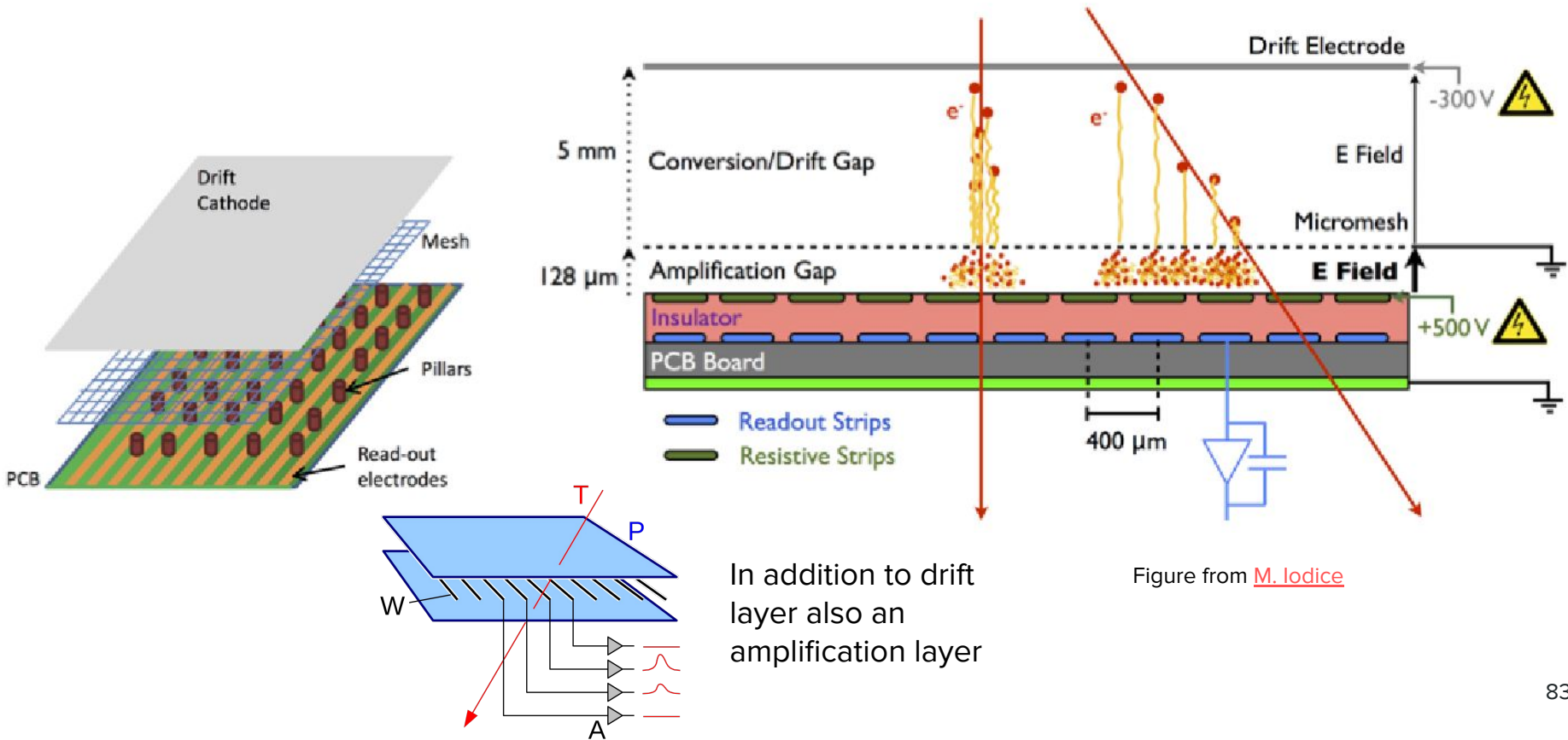


Figures from  
[here](#) and [here](#)

# Credits

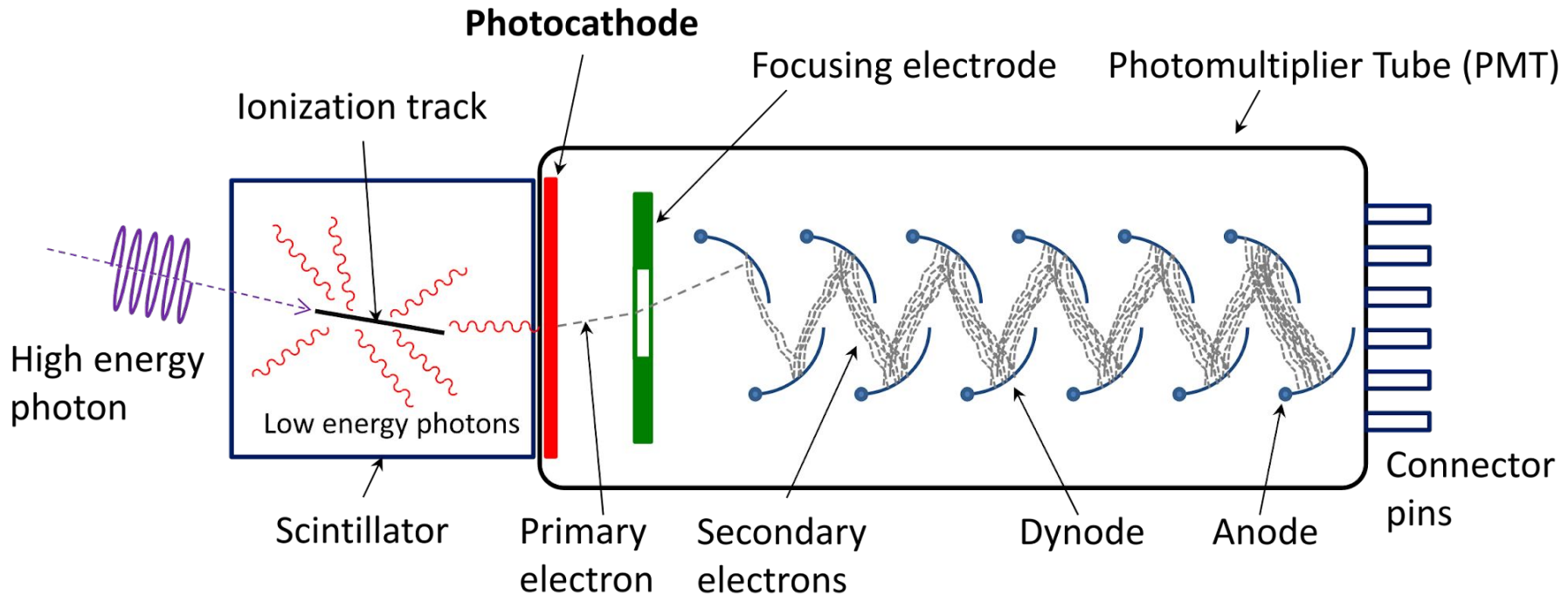
Many thanks to Erik Butz, [Simon Spannagel](#), [Freya Blekman](#), [Peter Schleper](#), Erika Garutti  
[\*\*Wikipedia\*\*](#)

# Micromesh Gaseous Structure: Micromegas

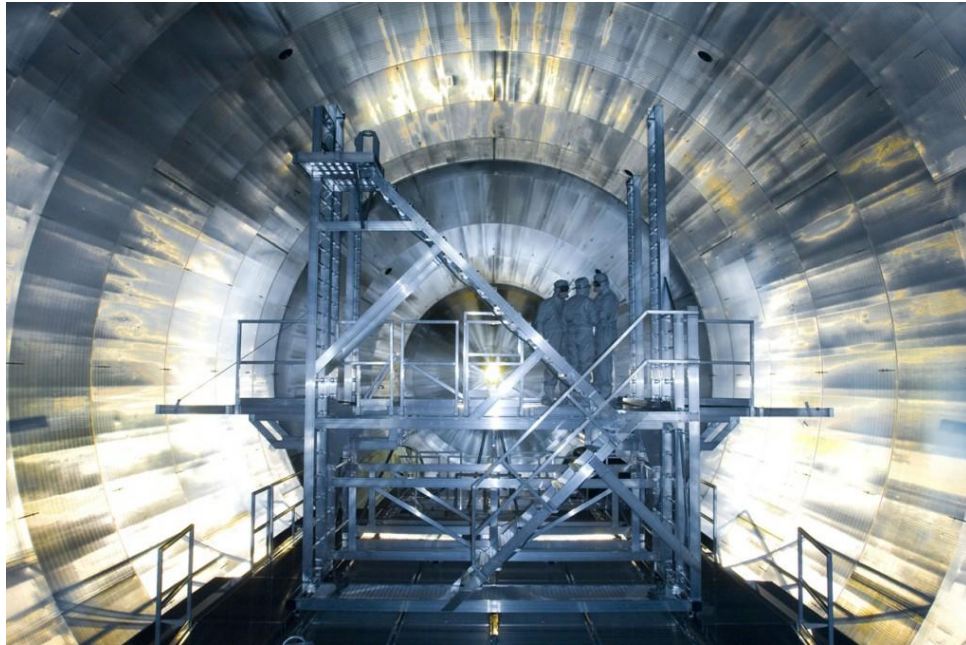


# Photomultiplier tube

Image from [Wikipedia](#)



# KATRIN: neutrino mass measurement



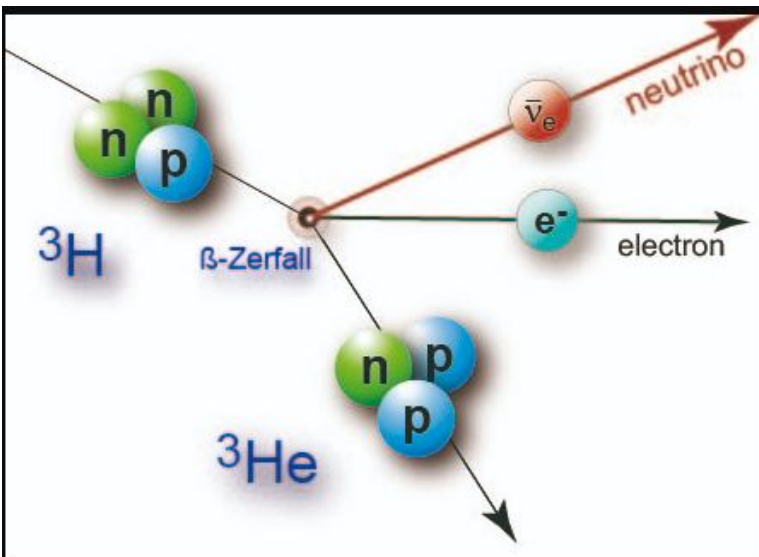
$m_\nu < 0.8$  eV: most precise measurement of neutrino mass!



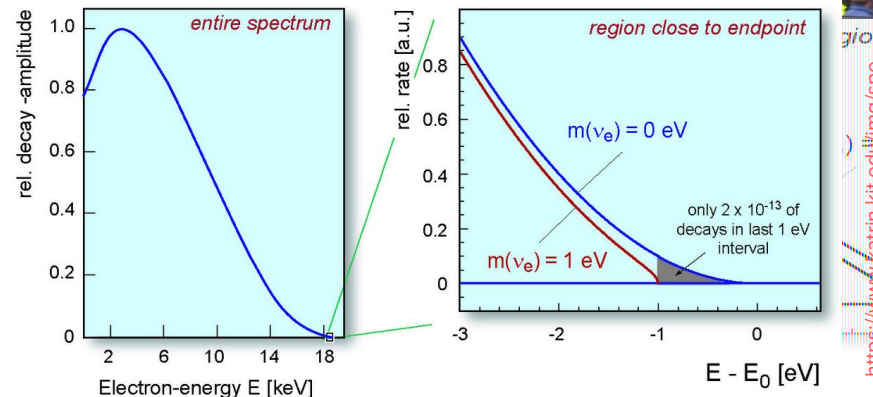
[https://upload.wikimedia.org/wikipedia/commons/c/c6/Ortsdurchfahrt\\_Leopoldshafen.jpg](https://upload.wikimedia.org/wikipedia/commons/c/c6/Ortsdurchfahrt_Leopoldshafen.jpg)

# KATRIN: neutrino mass measurement

Karlsruhe tritium neutrino experiment



$m_\nu < 1.1 \text{ eV}$  (90% confidence level)



Derive  
neutrino mass  
information  
from electron  
energy

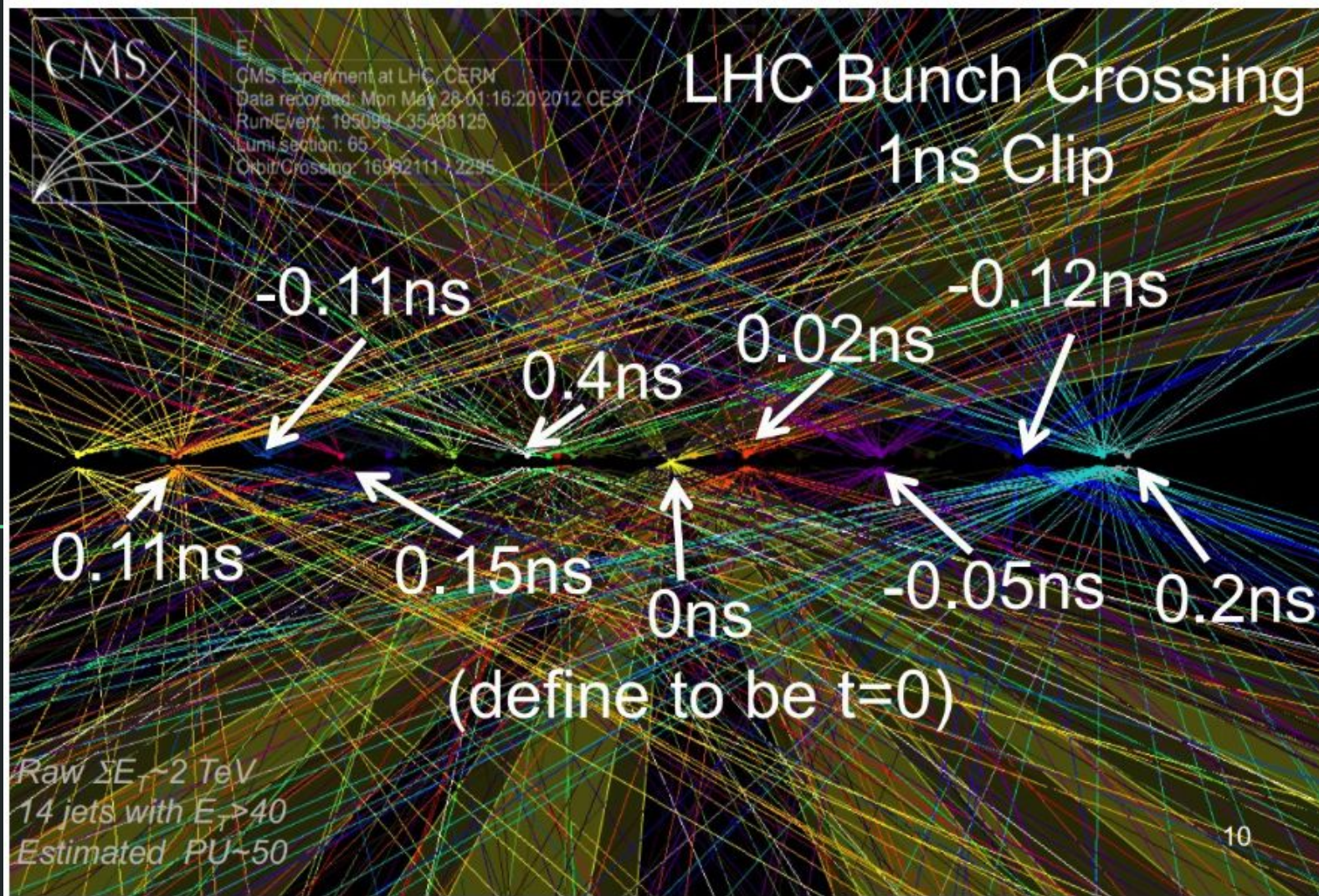
First experiment with sub-eV  
neutrino mass constraints:  
<https://www.nature.com/articles/s41567-021-01463-1>



# CMS = compact muon solenoid

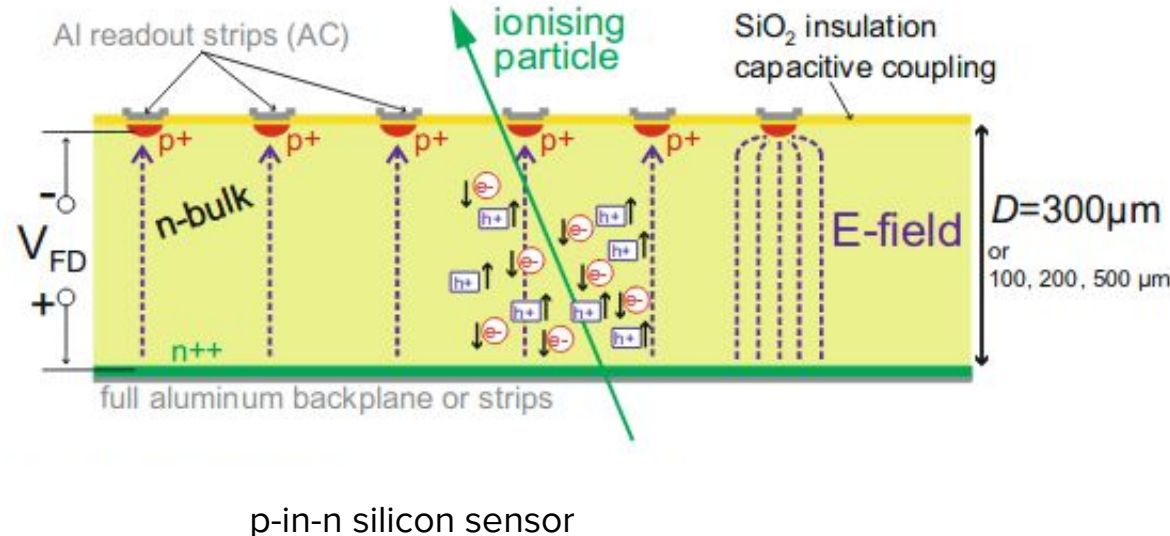
De CMS solenoid:

- Is de grootste supergeleidende magneet ooit gemaakt
- Weegt 12000 ton
- Is gekoeld tot 4.65 K, 2 graden warmer dan in de ruimte
- Is 100,000 keer sterker dan het magneetveld op aarde
- Heeft genoeg energie om 18 ton goud te smelten
- Heeft bijna twee keer zoveel ijzer als de Eiffeltoren



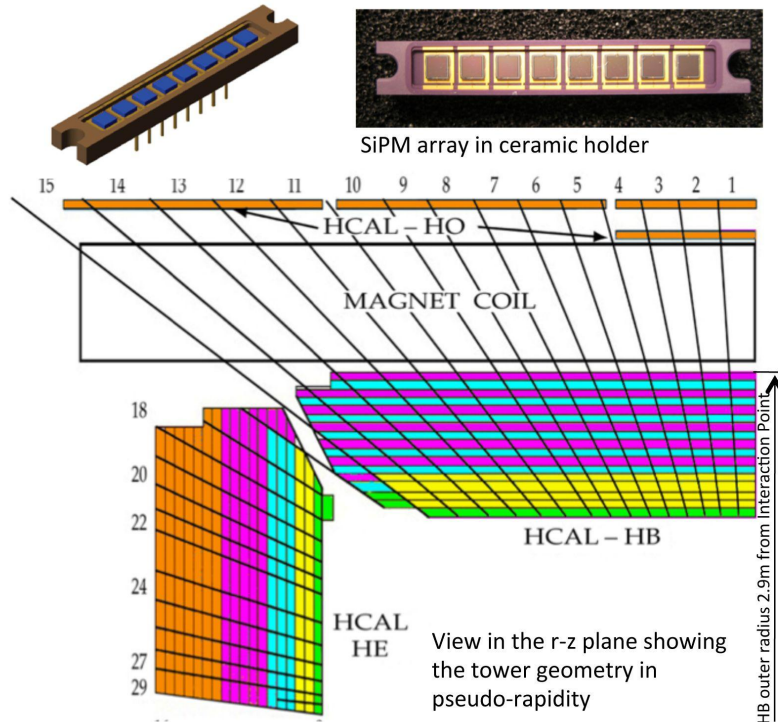
# Ideal signal detection with silicon sensors

- A minimum ionizing particle (MIP) traveling through a fully depleted region ( $V_{FD}$ ) creates electron hole pairs
- The charges drift to opposite directions under the electric field
- Within nanoseconds, charges are collected at the readout



From Frank Hartmann

# Photomultipliers → silicon photomultipliers



CMS upgraded their hadronic calorimeter:

From hit information for 4 cells (1 tower) → hit information per cell